一般社団法人 軽金属学会

第 147 回秋期大会プログラム

主 催: 一般社団法人軽金属学会

後 援: 国立大学法人群馬大学大学院理工学府、公益財団法人軽金属奨学会

協 賛: 一般社団法人日本アルミニウム協会、一般社団法人日本マグネシウム協会、

一般社団法人日本チタン協会、一般社団法人日本塑性加工学会、公益社団法人日本鋳造工学会、

一般社団法人軽金属溶接協会、公益社団法人日本金属学会、一般社団法人日本鉄鋼協会、

公益社団法人日本材料学会、一般社団法人日本機械学会、一般社団法人日本ダイカスト協会、

一般社団法人軽金属製品協会、公益社団法人自動車技術会、公益社団法人日本顕微鏡学会、

一般社団法人溶接学会、一般社団法人粉体粉末冶金協会、一般社団法人日本航空宇宙学会、

一般社団法人資源・素材学会、日本チタン学会、日本バイオマテリアル学会、日本熱物性学会

会 期: 2024年11月8日(金)~10日(日)

会 場: 群馬大学 太田キャンパス (〒373-0057 群馬県太田市本町 29-1)

WEB 視聴用 Zoom 会場併設(ポスターセッション、懇親会除く)

懇親会会場: ダニエルハウス (〒373-0851 群馬県太田市飯田町 895)

行事スケジュール:

11月8日(金) 群馬大学 理工学部太田キャンパス 4階研修室2(WEB視聴用会場併設)

14:00~14:30 表彰式

2024 年度軽金属論文賞・論文新人賞

第59回小山田記念賞

第 47 回高橋記念賞

第23回軽金属躍進賞

第42回軽金属奨励賞

第16回軽金属女性未来賞

14:45~15:45 第 59 回小山田記念賞受賞講演「オールリサイクル飲料用アルミボトル缶の開発と

実用化」 MA アルミニウム株式会社 岩尾 祥平 君

16:00~17:00 市民フォーラム「Society 5.0: AI, センサ, 通信で社会を変える」

群馬大学大学院理工学府 特任准教授 白石 洋一 氏

17:10~18:40 レセプション・表彰式招待者懇親会(ものづくりイノベーションセンター1 階食堂)

11月9日(土) 群馬大学 理工学部太田キャンパス、ものづくりイノベーションセンター

(Zoom 会場併設 (ポスターセッション除く))

8:55~12:10 一般講演(第1、第3会場)

テーマセッション 2 「アルミニウムの水素脆化機構究明と水素脆化・応力腐食割れ防止

の最前線」(第6会場)

テーマセッション 3 「6000 系アルミニウム合金の相変態挙動と材料特性」(第 5 会場) テーマセッション 5 「7000 系アルミニウム合金の時効析出と諸特性」(第 2 会場)

- 9:15~11:30 軽金属奨学会「特別奨学生セッション」(第4会場)
- 12:10~13:10 女性会員の会(理工学部太田キャンパス2階 セミナー室2, WEB 視聴用会場併設)
- 13:10~15:15 ポスターセッション(理工学部太田キャンパス 2 階~5 階廊下) ※在席時間をポスターNo.の奇数/偶数に分けて実施
- 13:30~17:20 軽金属企業研究会(理工学部太田キャンパス5階 エレクトロ計測室)
- 15:20~16:40 一般講演 (第 2 会場~第 4 会場)、

テーマセッション 2「アルミニウムの水素脆化機構究明と水素脆化・応力腐食割れ防止 の最前線」(第6会場)

テーマセッション 3 「6000 系アルミニウム合金の相変態挙動と材料特性」(第 5 会場) 企業招待講演【アルマイト発明 100 年】(第 1 会場)

- 16:50~17:50 第 11 回男女共同参画セッション(第 1 会場, WEB 視聴用会場併設) 「ワークライフバランスを確保したキャリア形成の課題と展望」
- 18:30~20:30 懇親会(ダニエルハウス)

11月10日(日) 群馬大学 理工学部太田キャンパス、ものづくりイノベーションセンター

(Zoom 会場併設 (ポスターセッション除く))

- 8:55~16:45 一般講演(第1、第3~第6会場)
- 8:55~12:10 テーマセッション 2「アルミニウムの水素脆化機構究明と水素脆化・応力腐食割れ防止 の最前線」(第6会場)
- 8:55~16:05 テーマセッション4「サステナブル軽金属蓄電池用電極材料の開発」(第2会場)
- 10:30~14:50 テーマセッション 1「アルミニウム合金のひずみ速度感受性およびそのモデル化」 (第4会場)
- 12:10~13:10 若手の会(太田行政センター(太田キャンパスから徒歩 2 分) 1 階 集会室 1, (WEB 視聴用会場併設))

11月9日(土)、10日(日) 群馬大学 理工学部太田キャンパス 3階廊下

機器・カタログ展示

- ■講演時間 一般講演は講演 15 分、質疑応答 5 分です。
- ■総合受付
 - 11月8日(金) 13:00~17:00 群馬大学 理工学部太田キャンパス 1階 入口
 - 11月9日(土)、10日(日)8:15受付開始 群馬大学 理工学部太田キャンパス 1階 入口

■講演会場

会場	館名	階	教室名
第1会場・Zoom 第1会場併設		5F	研修室 4
第2会場・Zoom 第2会場併設			研修室 1
第3会場・Zoom第3会場併設	理工学部太田キャンパス		研修室 2
第 4 会場・Zoom 第 4 会場併設			研修室 3
第 5 会場・Zoom 第 5 会場併設			CAD/CAM 室
第 6 会場・Zoom 第 6 会場併設	ものづくりイノベーションセンター	3F	研究室 A・B

■ポスターセッション会場 理工学部太田キャンパス 2 階~5 階 廊下

※ポスター受付 理工学部太田キャンパス 3 階工レベータ前

■軽金属企業研究会会場 理工学部太田キャンパス 5 階 エレクトロ計測室

■機器・カタログ展示会場 理工学部太田キャンパス 3階 廊下

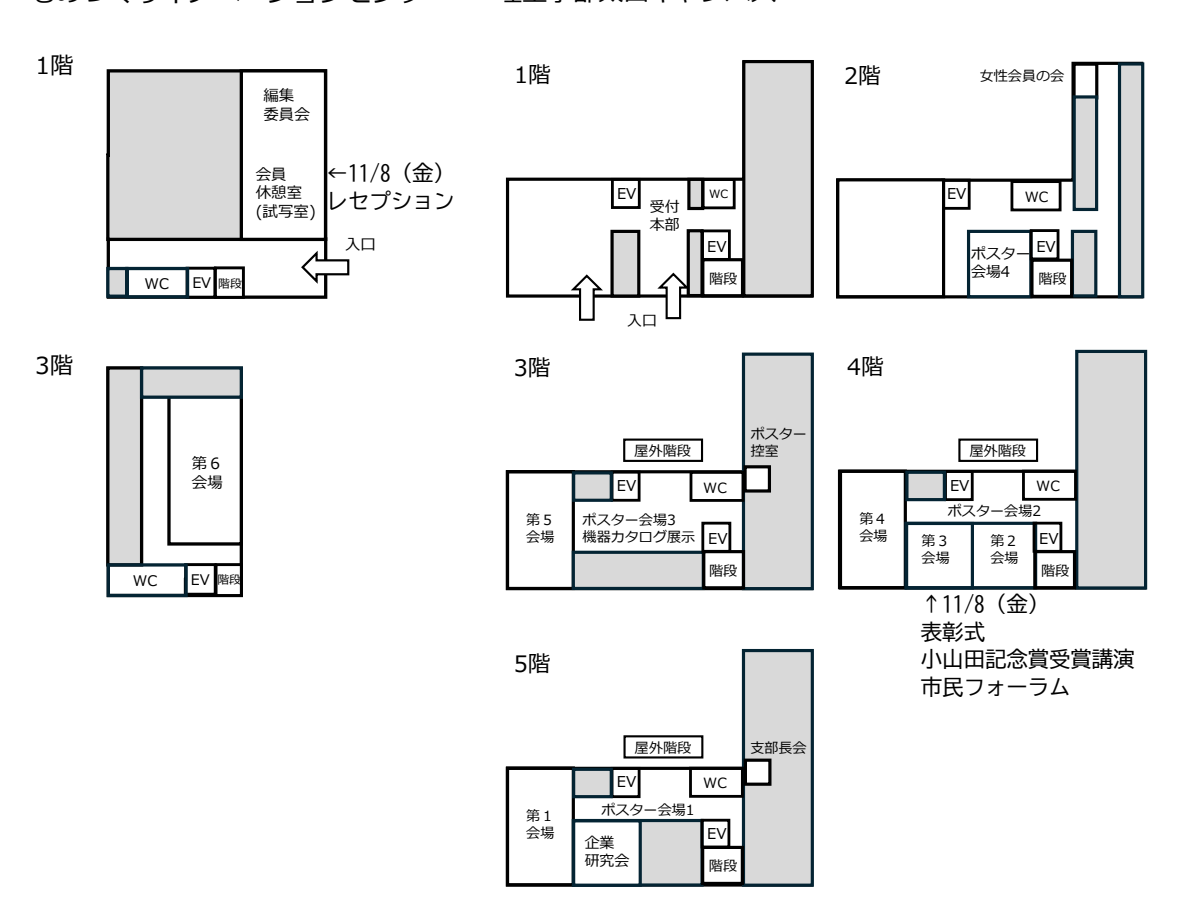
■会員休憩室・試写室 ものづくりイノベーションセンター1 階食堂

■会期中の昼食 大学食堂は休み、徒歩3分にコンビニエンスストアあり

■宿泊案内 早めの予約をお勧めします

■会場配置図

ものづくりイノベーションセンター 理工学部太田キャンパス



■会場周辺地図(東武伊勢崎線太田駅周辺地図)

○大会会場 群馬大学太田キャンパス 東武伊勢崎線 太田駅 下車、北口から徒歩約 10 分 ○懇親会会場 ダニエルハウス 東武伊勢崎線 太田駅 下車、南口から徒歩約 10 分





群馬大学太田キャンパス拡大図

※駐車場は大会会場隣接の立体駐車場の2階および3階をご利用ください

軽金属企業研究会

企業招待講演【アルマイト発明 100 年】

■日時 2024年11月9日(土) 15:20~16:40

■場所 群馬大学 太田キャンパス 5階研修室4(第1会場)

オンライン参加者:Zoom 第1会場

※現地とオンラインのハイブリッド開催 (講演者は現地)

■講演題目

①理化学研究所におけるアルマイトの発明とその事業化

独立行政法人理化学研究所 富田 悟

②アルミニウム建材の表面処理とアルマイト

三協立山株式会社 宇野清文

③アノード酸化被膜のナノ構造に基づくアルミニウム表面の機能化

株式会社 UACJ 中島大希

学生会員向け企業紹介

■日時 2024年11月9日(土) 13:30~17:20

■場所 群馬大学 太田キャンパス 5階 エレクトロ計測室

■参加企業 株式会社 UACJ 株式会社神戸製鋼所

MA アルミニウム株式会社

三協立山株式会社

日本軽金属株式会社

広島アルミニウム工業株式会社 本田金属技術株式会社

東洋アルミニウム株式会社 理研軽金属工業株式会社

リョービ株式会社

株式会社レゾナック

男女共同参画セッション

第 11 回男女共同参画セッション

「ワークライフバランスを確保したキャリア形成の課題と展望」

- ■日時 2024年11月9日(土) 16:50~17:50
- ■場所 第1会場(WEB 視聴用会場併設)
- ■プログラム

開会の挨拶 男女共同参画委員会委員長 鈴木 真由美

16:50~17:15 「敬護は社員の幸せを軸にする経営」~リハプライムが創りたい未来~

リハプライム株式会社 代表取締役 小池 修

 $17:15\sim17:40$ 「ダイバーシティの推進とアンコンシャス・バイアス」

群馬大学ダイバーシティ推進センター 教授/副センター長 林 はるみ

17:40~17:50 総合討論(質疑応答,名刺交換を含む)

閉会の挨拶 男女共同参画委員会担当理事 星野 倫彦

一般社団法人 軽金属学会 第147回秋期大会プログラム

講演セッション・行事一覧

2024年11月9日(土)

	第1会場 (5階研修室4)	第2会場 (4階研修室1)	第3会場 (4階研修室2)	第4会場 (4階研修室3)	第5会場 (3階CAD/CAM室)	第6会場 (ものづくりイノベーション センター3階研究室A・B)
8:55~10:15	生体材料 (チタン)	T5「7000系アルミニウム 合金の時効析出と 諸特性」①	カ学特性 (マグネシウム)	軽金属奨学会 特別奨学生セッション①	T3「6000系アルミニウム 合金の相変態挙動と 材料特性」①	T2「アルミニウムの水素脆化機構究明と水素脆化・応力腐食割れ防止の最前線」①
	座長 當代光陽 副座長 安藤新二	座長 成田麻未 副座長 荒田昌宏	座長 猿渡直洋 副座長 井上晋一	座長 堀田善治 副座長 佐藤英一	座長 廣澤渉一 副座長 李 昇原	座長 堀川敬太郎 副座長 山口正剛
	講演 1 ~ 3	講演 27 ~ 29	講演 55 ~ 58	講演 87 ~ 89	講演 115 ~ 118	講演 147 ~ 149
			休	憩		
10:30~12:10	力学特性 (チタン)	T5「7000系アルミニウム 合金の時効析出と 諸特性」②	組織制御 (マグネシウム)	軽金属奨学会 特別奨学生セッション②	T3「6000系アルミニウム 合金の相変態挙動と 材料特性」②	T2「アルミニウムの水素脆 化機構究明と 水素脆化・応力腐食割れ 防止の最前線」②
	座長 上田恭介 副座長 三浦永理	座長 本間智之 副座長 安藤哲也	座長 倉本 繁 副座長 山田隆一	座長 佐藤英一 副座長 堀田善治	座長 宍戸久郎 副座長 荒木秀樹	座長 清水一行 副座長 佐々木泰祐
	講演 4 ~ 8	講演 30 ~ 34	講演 59 ~ 63	講演 90 ~ 92	講演 119 ~ 123	講演 150 ~ 153
				性会員の会		
13:10~14:10		ポスターセッショ	ン① ポスターNo.奇数の発	表者が在席(太田キャンパス	ス2階~5階廊下)	
14:15~15:15		ポスターセッショ	ン② ポスターNo.偶数の発	表者が在席(太田キャンパス	32階~5階廊下)	
			休	憩		
15:20~16:40	企業招待講演 【アルマイト発明100年】	新機能・リサイクル	特性向上 (マグネシウム)	塑性加工①	T3「6000系アルミニウム 合金の相変態挙動と 材料特性」③	T2「アルミニウムの水素脆 化機構究明と 水素脆化・応力腐食割れ 防止の最前線」③
	座長 岩尾祥平 副座長 沼尾臣二	座長 久保田正広 副座長 中西英貴 講演 35 ~ 38	座長 千野靖正 副座長 長谷川収 講演 64 ~ 67	座長 市川武志 副座長 志鎌隆広 講演 93 ~ 96	座長 池田賢一 副座長 江目皓祐 講演 124 ~ 127	座長 戸田裕之 副座長 平山恭介 講演 154 ~ 157
			休		100	
16:50~17:50	男女共同参画 セッション					
			移	動		
18:30~20:30			懇親会(ダニ	エルハウス)		

	2024年11月10日(日)						
	第1会場 (5階研修室4)	第2会場 (4階研修室1)	第3会場 (4階研修室2)	第4会場 (4階研修室3)	第5会場 (3階CAD/CAM室)	第6会場 (ものづくりイノベーション センター3階研究室A・B)	
8:55~10:15	組織制御(チタン)	T4「サステナブル 軽金属蓄電池用 電極材料の開発」①	接合①	塑性加工②	表面処理・ 腐食・防食①	T2「アルミニウムの水素脆 化機構究明と 水素脆化・応力腐食割れ 防止の最前線」④	
	座長 小林郁夫 副座長 山形遼介 講演 9 ~ 12	座長 附田之欣 副座長 佐藤雅彦 講演 39 ~ 41	座長 安藤哲也 副座長 柴柳敏哉 講演 68 ~ 71	座長 山本篤史郎 副座長 青谷 繁 講演 97 ~ 100	座長 清水裕太 副座長 箕田 正 講演 128 ~ 131	座長 海老原健一 副座長 渡邊育夢 講演 158 ~ 161	
	PHYSE 3 12	H+79C 00 +1	休		N9/90 120 101	RH7/9C 100 101	
10:30~12:10	高温特性 (チタン・マグネシウム)	T4「サステナブル 軽金属蓄電池用 電極材料の開発」②	接合②	T1「アルミニウム合金の ひずみ速度感受性 およびそのモデル化」①	表面処理・ 腐食・防食②	T2「アルミニウムの水素脆 化機構究明と 水素脆化・応力腐食割れ 防止の最前線」⑤	
	座長 松永哲也 副座長 木口賢紀 講演 13 ~ 17	座長 中津川勲 副座長 中田大貴 講演 42 ~ 46	座長 山中宏介 副座長 鈴木太一 講演 72 ~ 76	座長 西田政弘 副座長 森田知朗 講演 101 ~ 104	座長 大谷良行 副座長 榎 修平 講演 132 ~ 136	座長 濱田 繁 副座長 西村克彦 講演 162 ~ 166	
			昼食 /	若手の会			
13:10~14:50	粉末冶金・ ポーラス材料①	T4「サステナブル 軽金属蓄電池用 電極材料の開発」③	接合③	T1「アルミニウム合金の ひずみ速度感受性 およびそのモデル化」②	表面処理・ 腐食・防食③	溶解・鋳造・凝固①	
	座長 湯本敦史 副座長 日野 実 講演 18 ~ 21	座長 山崎倫昭 副座長 鈴木真由美 講演 47 ~ 51	座長 渡邉満洋 副座長 土屋大樹 講演 77 ~ 81	座長 宮崎 悟 副座長 小林拓史 講演 105 ~ 109	座長 吉野路英 副座長 渋谷雄二 講演 137 ~ 141	座長 原田陽平 副座長 皆川晃広 講演 167 ~ 171	
			休	憩			
15:05~16:45	粉末冶金・ ポーラス材料②	T4「サステナブル 軽金属蓄電池用 電極材料の開発」④	接合④	組織制御 (アルミニウム)	カ学特性 (アルミニウム)	溶解・鋳造・凝固②	
	座長 北薗幸一 副座長 中村雅史 講演 22 ~ 26	座長 羽賀俊雄 副座長 田畑裕信 講演 52 ~ 54	座長 岩岡秀明 副座長 新里喜文 講演 82 ~ 86	座長 寺田大将 副座長 秋吉竜太郎 講演 110 ~ 114	座長 伊藤 勉 副座長 中村貴彦 講演 142 ~ 146	座長 尾村直紀 副座長 安田秀幸 講演 172 ~ 176	

2024年11月9日(土)

	第6会場 ものづくりイノベ3階研究室A・B)	T2「アルミニウムの 水素脆化機構究明と水素脆化・ 応力腐食割れ防止の最前線」①	座長 大阪大 堀川敬太郎 副座長 JAEA 山口正剛	7 【基調講演】Al-Zn-Mg系合金の n 相界面の半自発的到離と水素 脆化およびその防止、 九州大 戸田松之 JAEA 山口圧剛! 都留智仁・海老原健一 NIMS 茂邊育夢・佐々木泰祐 富山大 西村克彦 京都大 平山茶介 馬取大 清水一行 九州大 濱 田 繁・藤原比呂		「上記 上記 上記 上記 上記 上記 上記 上記	が対光CTとTEMによるAl-Zn-Mg 合金の権へき開破機等助解析 / 京都大 <u>平山恭介</u> 九州大 戸田裕之・藤原比呂 鳥取大
	第5会場 (3階CAD/CAM室)	T3「6000系アルミニウム合金の 相変態挙動と材料特性」①	座長 横浜国大 廣澤渉一副座長 富山大 李 昇原	115 陽電子消滅同時計数ドップラー広 147 がり法によるAl-Mg-Sife金の自然 時効中の容質原子ナルラスタリン 時効中の容質原子ナルラスタリン が観測 / 大阪大 <u>港木秀</u> 世・M2)藤井孝憲・現 ハイレック メコーポレーション/杉田一樹・水 野正隆 神戸製鋼 松本克史 京都大 白井泰治	116 Tender X-rays 領域の異常小角 /XAFS同時制定装置の開発と ANMSI合金への適用 、 京都大 奥田浩司・(N2)大石綿乃介・(現 日軽金)宮辺智樹・平山恭介 KEK 間瀬一彦	17 中性子小角散乱を用いた6000系 148 アルミーケム合金の全状が出物の 解析 / UACJ アマリナアイナ 最岡技科大 本間智之 北海道 大 大沼正人 CROSS 大石一 城・鈴木淳市 富山大 幸 昇 原・土屋大樹 北海道大学 池 田賢一 富山大 松田健二	118 予備時効後自然時効したA60227 149 ルミーウム合金のSTBN観察 / ルスコリエ目皓右・一名幸司 東 京大、江草大佑 東京大物材機 構 阿部英司
$\overline{}$	第4会場 (4階研修室3)	軽金属奨学会特別奨学生セッション①	座長 九州工大 堀田善治 副座長 宇宙研 佐藤英一		87 積層造形用TI-6Al-4V合金粉末 1 の流動性に及ぼす酸化処理の影 響 / 東北大 (M2)掛川直樹・ 周 偉偉・野村直之	88 Ti-V合金における転位運動の熟 1 活性化過程 / 九州大 (D1)会 野 倍・森川龍哉・山崎重人 JAEA 都留智仁 九州大 田中 將己	 89 AZ31Bマグネシウム合金のプラズ 1 マ電解酸化における電流効率に マビす周皮数の影響 / 工学院 大 (D2)<u>國田優香・</u>表原億大・阿 相英孝
ZUZ4年11月9日(工	第3会場 (4階研修室2)	カ学特性 (マグネシウム)	座長 山梨大 猿渡直洋 副座長 熊本大 井上晋一	55 【軽金属奨励質受賞講演】汎用・ 高性能マグネシウム合金展伸材の 創製 / 長岡技科大 中田大貴	56 Mg-Cu-Ca合金押出材の組織と 機械的性質 / 産総研 <u>邊 明</u> 哲・黄新ショウ・千野靖正	57 マルチモーダル組織制御された Mg-Y-Zn系合金押出材の強靭化 D4-O解則 / 熊本大MRC 西 本完全 熊本大 (M1)高木克真 名古屋工大 萩原幸司 熊本大 MRC 山崎倫昭	58 ZM21マグネシウム合金の疲労特性で及ばずECAP加工条件の影響 / 山梨大 山田區一・伊藤安善 ジ浦工大 古原二郎 労産 芝浦工大 古原二郎 グローバルマグネシウムコーポ レーション 野坂洋一 山梨県産技セ 鈴木大介
	第2会場 (4階研修室1)	T5「7000系アルミニウム合金の 時効析出と諸特性」①	nku la	27 【基調講演】 7000系アルミニウム 自合金の応力騰食割れ / UACJ 箕田 正	28 【基調講演】自動車向け高強度 17000系アパニウム押出用合金の開発 / 神戸製鋼 <u>志鎌隆広</u>		29 高強度7000系アルミニウム合金押 出材料の耐応力腐食割ル性に及 ぼすステップ焼えルの影響 / アイン・軽金属 吉田朋夫・濱高 祐樹 富山大 幸 昇原・土屋大 横・村上 哲・松田健二
	第1会場 (5階研修室4)	生体材料(チタン)	座長 新居浜高専 當代光陽 副座長 熊本大 安藤新二	「軽金属躍進賞受賞講演】軽元 素に着目した生体用チタン合金開 発およびチタンへの抗菌機能付 与 / 東北大 <u>上田恭介</u>		2 インプラント用チタン / B 型リン酸 三カルシウム機結体の多孔質化 による組織と機械的特性の変化 / 東京工大 (KI2)立右右路・ (MI)西井京音・オミンホ・小林衛 夫	3 チタン高温酸化被膜の色調に影響を及ぼす諸因子の検討 / A. A. 雇具立大 (M2)大北陸登・三浦永理
					8:55~ 10:15		

2024年11月9日(土)

第6会場 (ものづくりイノベ3階研究室A・B)	T2「アルミニウムの 水素脆化機構究明と水素脆化・ 応力腐食割れ防止の最前線」②	座長 鳥取大 清水一行 副座長 NIMS 佐々木泰祐	150 【基調講演】アルミニウム合金中 整合~非整合界面の水素トラップ と剥離の第一原理計算 / JAEA 山口正剛・都留智仁・海老原健 一・板倉充洋		151 【基調講演】アルミニウム合金に おける水素能化抑制のための元 素戦略 / JAEA <u>都留智に・</u> 山 ロ正剛・着老原健一・板倉充祥	152 Al-Zn-Mg-Cu合金における水素 誘起粒乳亀製進展の解析 / 岩 手大 (M2)上届昇入 鳥取大 清水一行 岩干大 鎌田龍寛 九州大 戸田裕之・藤原比呂 京都大 平山恭介 東北大 小 山元道 JASR 上椙真之・竹内 見久	153 Al-5.7%Zn-2.4%Mg-1.4%Cu合金の対界水業能化割れ経路のナノレベル解析 / 茨城文 (Ml)法 井竜太 (伊藤吾朝 Max (Ml)法 井竜大伊藤吾朝 Max 月越一郎 茨城大 倉本 繁・小林純也
第5会場 (3階CAD/CAM室)	T3「6000系アルミニウム合金の相変態挙動と材料特性」②	座長 神戸製鋼 宍戸久郎 副座長 大阪大 荒木秀樹	TEM内その場引張試験によるAl- Mg-Si合を中の運動転位のすべり 挙動解析 / 横浜国大 (現 住 友電気工業)井上大罐・廣選渉一	120 Al-Mg-Siぶ合金の引張特性に及ぼす遷移元素の影響 / 日本曜金属 宜野 遥・邢 劼	mei ful)	122 冷間圧延による転位密度の変化 7 がAI-Mg-Si合金中の2権類のナノ グラスタの形成挙動に及ぼす影響 / 芝浦工大 (M2) <u>高木 週</u> ・芹澤 愛 芝浦工大 (M2) <u>高木 週</u> ・芹澤	123 原子シミュレーションによるA-Mg- Si合金中のナノクラスタ形成過程 における空孔の影響の評価 / 芝浦工大(似2)度毎株電査・(D2) 栗原健輔 JAEA Ivan Lobsenko・都留智仁 芝浦工大 芹澤 愛
第4会場 (4階研修室3)	軽金属奨学会特別奨学生セッション②	座長 宇宙研 佐藤英一 副座長 九州工大 堀田善治	J上 タ 	91 マイクロ空間に閉じ込められたア ルミーウム合金の過冷却特性調査 / 北海道大 (D2) <u>諸木友斗・</u> ジェーム メレバート・能村貴安	92 アルミニウム粉塵爆発における粉 塵濃度が予熱帯に及ぼ予影響 / 広島大 (D3)佐伯琳々・金 佑 勢		
第3会場 (4階研修室2) (4	組織制御(マグネシウム)	座長 茨城大 倉本 繁 副座長 山梨大 山田隆一	ш Ұ	0 回復再結晶を伴う希薄MgVZn合金の相応移過程のその場観察 をの相応移過程のその場観察 / 京都大 奥田部司・(M2)近藤 大樹・(M2)大石瀬乃介・平山恭介 熊本大MRC 井上晋一・河村能人	1 Mg-Zn-Y系合金のキング強化に 及ぼすシルフィーコ構造の影響 / 熊本大MRC <u>河村能人</u> 熊 本大 (M2)土山廉平 熊本大 MRC 井上晋一	62 Mg-Y-Co-Ni合金におけるLPSO 構造形成高程の放射光を用いた 解析 / 京都大 (MS)大石純辺 介・現田浩司 熊本大 山崎倫 昭・西本宗矢 JASR 太田 昇 KEK 丹羽尉博	63 超徐冷春薄Mg-Y-Zn合金単結晶 とその加工組織の小角広角 X線散 乱による解析 清新大 (M2) 中島 潤 與田洋河;平山恭介 熊本大 山崎倫昭·西本宗矢 高輝度光科学七 太田 昇 京 都大 現 日本軽金属)宮辺智樹
第2会場(4階研修室1)	T5「7000系アルミニウム合金の時効析出と諸特性」②	座長 長岡技科大 本間智之 副座長 室蘭工大 安藤哲也		31 Al-Zn-Ng合金における空孔の存 (在形態と発質原子クラスター形成 在形態と発質原子クラスター形成 への影響 / 大板大 <u>松野工</u> 隆・M220年 諒・流木秀樹・杉田 一樹 名古屋工大 成田麻未 超々ジュラルミン研究所 吉田英 雄	4.	33 溶体化処理後冷却速度制御した A L Zn-Ng-76金の時効特性 全蘭工人 (D2) <u>汽木駿佐・</u> (M2)青 野竜山・安藤哲山 名占国工大 成田麻末 超々ジュラルミ・ボ 究所 吉田英雄 北海道大 池 田賢一 室蘭工大 田湯善章	34 炉冷したA-Zn-Mg合金の引張拳 向 / 室蘭工大M22貴野竜也・助 / 室蘭工大M22貴野竜也 名古 屋工大 欧田麻末 超々シュテルミン研究所 吉田英雄 北海道大 池田賢一 室蘭工大 田 湯善章
第1会場 (5階研修室4)	力学特性(チタン)	座長 東北大 上田恭介 副座長 兵庫県立大 三浦永理		5 工業用純子グン板の引張変形等 3 動に対する酸素の影響 / 熊本 大MRC <u>安藤新二</u> 熊本大 (M2)顧岡拓真 熊本大MRC 北 原弘基		hop型TiZrHfAlxディアムエントロ 3 ビー合金における機準組織と力学 特性 / 新居浜高専 <u>塩代光</u> Be・現 長岡技弁大(M1)高橋 瓜 兵庫県立大 永瀬丈嗣 大阪大 松垣あいら・中野貴由	8 Tr-Au系複相:ルフィーコ合金の 3 力学特性評価 / 名古屋工大 (M2)米村拓越・萩原幸司・徳永透 子
			7		10:30 ~ 0 12:10	1 -	J.w.

2024年11月9日(土)

	究室A·B)	の :素脆化・ :前線」③	1裕之 11恭介	オンスピン緩和 (を利用したAl- 中の水素トラット 大 西村が高・ ・ 注・布村紹男・ 士・ 本 昇原 出・本 昇原 都留智仁 鳥 九州大 戸田	Mg ₃₀ (Al, Zn) ₄₉ における の解析 / 鳥取大 富国山大森科学セ 富山大 西村克彦 正剛 九州大 戸田	後中の第二相粒子へ こ2る水素脆化拍制 195名祭 / JABA 九州木 藤原比日 1.一行 JABA 山口 大 戸田裕之	- 今 金 の 7 相 - 本 画 山 大 - 本 元 徳 一 大 - 本 元 本 本 - 本 大 一 京 京 - 本 大 一 京 京 - 下 、 京 京 一 本 で 清 水 清 水 清 水 清 水 清 本 清 本 清 本 清 本 清 本 音 を 音 を 音 を 音 を また
11	第6会場 (ものづくりイノベ3階研究室A・B)	T2「アルミニウムの 水素脆化機構究明と水素脆化・ 応力腐食割れ防止の最前線」③	座長 九州大 戸田裕之 副座長 京都大 平山恭介	154 【基調講演】ミュオンスピン緩和 法と第一項理計算を利用したAl- Mn(C, Fe, N)合金中の水素トラッ ア機構 / 島山大 西村瓦彦・ 松田健二・並木孝洋・布村紀男・ 上屋大樹・赤丸倍士・李 昇原 JAEA 髭本 亘・都留智仁 鳥 取大 清水一行 九州大 戸田 裕之	155 バルグT相: Mg ₅₂ (Al, Zn) ₄₈ における 水素ドラップの解析 / 鳥取大 <u>清水一行</u> 富山大米科学セ 赤丸悟士 畠山大 西村克彦 JAEA 山口正剛 九州大 戸田 裕之	156 Al-Zn-Mg合金中の第二相粒子~ の水素優大による米糖低指制 に関する数値的考察 / JAEA 海老原確一 九州大 藤原比呂 鳥取大 清水一行 JAEA 山口 正剛 九州大 戸田裕之	157 (KZn/MgtkAl-Zn-Mg合金のT相 の微細構造の解明 / 富山大 の微細構造の解明 / 富山大 大樹・松田健二・西村克彦・布村 紀男 九州大 戸田裕之 京 都大 平山赤が 岩手大 清水 一行 JAEA 山口正剛・都留智 仁・板倉充洋
	第5会場 (3階CAD/CAM室)	T3「6000系アルミニウム合金の 相変態挙動と材料特性」③	座長 北海道大 池田賢一 副座長 UACJ 江目皓祐	will in			127 Al-Mg-Si合金の等温時効での析 14 山温色の調査 / 大同大 高田 世 UACJ 佐野大和 三菱目 助車 水野和也 大同大 鳥越 翔真 名古屋大 齊藤元貴・大 坂真弘、武藤俊介 あいちシンク ロトロン光センター 岡島敏浩・神 合和幸・イエザー) ファビオ
$\overline{}$	第4会場 (4階研修室3)	塑性加工①	座長 神戸製鋼 市川武志 副座長 神戸製鋼 志鎌隆広	マルチモーダル組織制御されたマ イネンウム合金の圧縮・引張時の 組織変化 / 熊本大 山崎崎 昭・(D)堀口皓匠 Charles大 ド ロゾデンコダリア 熊本大 西本 宗矢 名古屋工大 萩原幸司・ 徳永透子 JPARC ハルヨステ ファヌス・ゴンウー	4 6111アルミニウム合金の388Kでの 引張変形中の微細組織変化 宇都宮大 (M2) <u>宮田波奉・</u> 山本篤 史郎・高山善匡・渡部英男	SBM-ECCI技による6000系アルミ ニサムをの組織観察技術の検 計	高強度6000系アルミニウム合金の 関性加工におけるCABへの適用 / 富山水 (M2)嶋津 聡・(M1) 山崎七彩・(D3)楠本雄市・併田之 依・会田哲夫 TAN-EI-SYA 北 西後清
て)日6日11年4707	第3会場 (4階研修室2)	特性向上(マグネシウム)	座長 産総研 千野靖正 副座長 東京産技高専 長谷川収	64 Mg-ln-XXX=Al,Ga)合金の作製と 室温圧延特性 / 千葉大 (M2) 村上隆太・(M1)松井大洋・(D1)永 田涼太・山形道介・糸井貴臣	65 Mg-In-Ga系合金のガルバニック 腐食による水素発生挙動 / 千 腐食による水素発生拳動 / 千 な・(M1)氷田京本・(M2)村上隆 木・(M1)松井大洋・山形道介・糸 井貴臣	6.6 放熱性Mg-Al-Ca-Mnr-Mn系合金 の特性に及ばす製造力法の影響 の特性に及ばす製造力法の影響 / 富山大 (M1)整極速力・(M2) 伊東瑞葵・(D3)稲本雄市・附田之 依 日本マテリアル 橋本嘉昭 広島工業大 日野 実 富山大 会田哲夫	67 ECAP加工後の短時間容体化処 理がAM60Bマグネシウム合金の注 工工組織に及ぼ子影響 / 山梨 大 (M1)百倉健健・霧後進音、九 真熟処理工業 関谷英治 山梨大 中山栄浩
101 Q = 444	第2会場 (4階研修室1)	新機能・リサイクル		35 リサイクルA材添加による樹脂材 [6] 特の放棄性の白上 / 富山大(B4) <u>村田和駿</u> ・(M2)離波柘末・(M1)諸橋遊介・附田之欣・会田哲夫 GPAC 加藤智則・吉國道生西村黒鉛 西村福舎・土坂祥一		37 Alv多孔質体へ低圧台侵したアル (3:1-7-1-1-1-1-1-1-1-1-1-1-1-1-1-1-1-1-1-1	38 溶融錫を利用したAl-Fe合金から (の鉄の分離 / 宮山大 (M2)前 田健二朗・加藤謙吾・小野英樹
G1 & 444	第1会場 (5階研修室4)	企業招待講演 【アルマイト発明100年】	座長 MAアルミ 岩尾祥平 副座長 レゾナック 沼尾臣ニ	理化学研究所におけるアルマイト 3 の開発とその事業化 / 理化学 研究所 富田 悟		アルミーウム連材の表面処理とア 3 ルマイト / 三協立山 宇野清文	アノード酸化皮膜のナ/構造に基 3 - スマルミニウム表面の機能化 / UACJ 中島大希
					15:20∼ 16:40		I

	套A•B)	脆化· 線」④	!— 夢	Aの60 ルイゾリン 調 添	の水素環日 繁・田 繁・	BいたAl- な嬢にお 「	を用いたリ ルミニウム アミニウム 京島工大 東人・上			
	第6会場 (ノベ3階研究]	T2「アルミニウムの 6化機構究明と水素 5食割れ防止の最前	座長:JAEA 海老原健一 副座長:NIMS 渡邊育夢	[基調講演] アルミニウム合金の 水楽脆化マルチスケールモデリング / NIMS <u>渡邊育夢</u> ・譚 添 文	7000系アルミニウム合金の水素環境下における強度特性予測手法の提集 / 九州大 濱田 鑒・(W2)北條 翼	結晶塑性有限要素注を用いたAl-Zu-Ng与金の水素脂性破壊における結晶方位依存性解析 / 九州大人(M2)北條 翼・濱田 繁州大 (M2)北條 翼・濱田 繁	グ pc m			
	第6会場 (ものづくリイノベ3階研究室A・B)	T2「アルミニウムの 水素脆化機構究明と水素脆化・ 応力腐食割れ防止の最前線」④	座長: JAE 副座長: N		. ,,					
_	ت	N. E		で 注述 大 工 大	4 4 4 4 4 4 4 4 4 4 4 4 4 4 4 4 4 4 4	160 24 24 24 24 24 24 24 24	5.77 161 解解 於屬			
	i M室)	的食①	座長:日本軽金属 清水裕太 副座長: UACJ 箕田 正	高純度アルミニウム基材上へのAlO(OH)及膜の形改達動に及ぼす添加元素の影響 / 芝浦工大学総加元表の影響 / 芝浦工大(M2) <u>赤谷優太朗・</u> 芹澤 愛	水蒸気雰囲気下でアルミニウム合金上に形成される二層構造を有するAIO(OH)皮膜の成長挙動 /するAIO(OH)皮膜の成長拳動 /芝浦工大 (D2)晃原健軸・芹澤愛	紫気顔~OhaPo4添加が水蒸気 プロセスによりアルミニウム合金上 (こ形成するAO(OH)皮膜の放長 継動および球労特性に与える影響 一 芝浦工大(M2)朝田有希 子 ルオギ自動車 茂泉 健 芝浦工大 芹鷺 愛	高純度アルミニウム上に形成され たパア型陽極酸化皮膜の電解 質アニオン分布と結晶性に電解液 顔が与える影響 自田浴都・榎 修平・清水裕太 自田浴都・榎 修平・清水裕太			
	第5会場 (3階CAD/CAM室)	表面処理・腐食・防食①	5長:日本軽金属 清水裕: 副座長: UACJ 箕田 正	高純度アルミニウム基末 AIO(OH)及膜の形成準 す添加元素の影響 / (M2)赤谷優太朗・芹澤	雰囲気下で 8成される。 (OH)皮膜 た (D2) <u>栗</u>	蒸気源~のH ₃ PO ₄ 溶 プロセスによりアルミ に形成するAO(OH) 整動および発労特性 響	7.1.3.二ウ. 型陽極酸 1.7.分布と 2.2.影響 、 2.5.影響 。 近・榎 修 5.1			
	(3階	表面処	座長:日: 副座長							
				○ 数	129	カン <i>プ</i>	// を用 131 13			
	3)		本篤史郎 青谷 繁	3104アルミニウム合金硬質核の絞り成形時の耳形成に及ぼす摩榛 力の異方性の影響 / 神戸製鋼 井上祐志	アルミニウム合金の冷間圧延時耳 駒れに対する化合物の影響 / 神戸製鋼 田 <u>淵佳明・</u> 中澤尚之	軸荷重によるアルミニウム飲料在 底の歴田と材料枠性の関係 / MAアルミ <u>拓尾寛本</u> ・福増秀彰 静岡大 竹川時基・吉田健吾	(: 、			
	第4会場 (4階研修室3)	塑性加工②	に官大 山ジ ゾナック	3104アルミニウム合金 り成形時の耳形成に3 カの異方性の影響 大土土祐志	ム合金の7万名化合物 日淵佳明	軸荷重によるアルミニウム飲味 底の座面と材料特性の関係 MAアルミ <u>抗尾寛本</u> ・福増秀 静岡大 竹川暗基・吉田権百	熱ホットス、 2 有リサイン な形性の が別名 亮子 ・前野智美 矢吹勇司			
`	。 (4階	副	座長:宇都宮大 山本篤史郎 副座長:レゾナック青谷 繁	3104アルブ り成形時の 力の異方・ 井上祐志	アルミーウム合金の冷間圧延時 割れに対する化合物の影響 神戸製鋼 <u>田淵佳明・</u> 中澤尚之	軸荷重によるアルミニウム飲料缶 底の座屈と材料特性の関係 / MAアルミ <u>折尾寛太</u> ・福増秀彰 静岡大 竹川皓基・吉田穂吾	毎時間加熱ホットスタンといた高Si含有リサイクルフトで高Si含有リサイクルフトストのリンクのリングのリングのリングのリングのリングのアングでは、一般などのリングを対し、前野智美に対象が、所・矢吹勇司			
2			1辺 10冊	<u>// 6</u>	86		00 14			
ロ)口の! ピニナキ707			§哲也 敏哉	至金属奨励賞受賞講演】アルミ ウム合金のろう付幸動の可視化 よびアルミーウム材料に関する 有的・学際的な取り組み / ACJ 鈴木太二	漢実験によるアルミニウムろ5材 窒化ケイ素基板間の接合性の評 / 横浜国大(M2) <u>楠元 匠・</u> 淵光弘・廣澤渉一	8の面ろう 力と部品間 ³ / H ² 木健太	i-Mn系合: 生に及ぼす 響 / 渉・山オ			
07	第3会場 (4階研修室2)	接合①	工大 安藤 山大 柴枸	が賞受賞課 20ろう付達[ニウム材料 終的な取り] 太二	よるアルミ: 基板間の :国大 (Mi [澤渉一	ニウム合金 ぎず加圧プ 2 和乗効場 <u>1 和哉・</u> 鈴	能なAl-Si が付接合作 <u>凌吾・</u> 中川			
	第 (4階和	接	長:室蘭工大安藤哲也 座長:富山大柴柳敏哉	「軽金属奨励賞受賞講演】アルミ - ウム合めのろう付挙動の可視化 およびアルミーウム材料に関する 各角的・学際的な取り組み / UACJ 鈴木太二	浸漬実験によるアルミニウムろ5材 と窒化ケイ素基板間の接合性の評価 / 横浜国大 (M2) <u>楠元 匠・</u> 村 大瀧光弘・廣澤歩一	A3003アルミニウム合金の面ろう付性改善に及ぼす加圧力と部品間 性改善に及ぼす加圧力と部品間 クリアランスの相乗効果 / 日本 軽金属 <u>船連和哉・</u> 鈴木健太	5うを供給可能なAl-Si-Mn系合金 10 フィン材の25/付接合性に及ぼす 5分付時結晶粒径の影響 / UACJ 中川遼吾・中川 渉・山本 大			
			画座		69 啖 <u>zi</u> 角大	0 公 生 公 権	<u>に</u> ろとない大			
		青電池用	.欣 :雅彦	7.4.3よび 着電池用電 東北大 川航平		性と電気 ・ <u>黎川英</u> ・万代俊	(シウム蓄電池 う金負権材料 電気化学的特 、 <u>館木</u> <u>は 飲木</u>			
	会场 修室1)	T4「サステナブル軽金属蓄電池用電極材料の開発」①	座長:富山大 附田之欣 副座長:日本金属 佐藤雅彦	 【基調講演】アルミニウムおよび マグネシウムを用いた蓄電池用電を材料の開発状況 / 東北大市座 哲・		マグネシウム箔の力学特性と電気 化学特性 / 物材機構 <u>黎川英</u> 俊・本橋功会・黒田秀治・万代俊 彦	Cu, Siを含むマグネシウム蓄電池 用Mg-9kAl-3kCa合金負板材料 薄帯のミツロ組織と電気化等的特性 / 富山県立外 島木真田 差・(84)森 力峻 富山大 (M2 橋田祥隆 附田之休 中越合金 鏡工 田畑裕信 埼玉莲枝セ 鏡工 田畑裕信 埼玉莲枝セ			
1	第2会場 (4階研修室1	.テナブル §極材料の	長:富山大 長:日本金	周講演】、 ネペウンを 料の 開発 ・ ・ ・ ・ ・ ・ ・ ・ ・ ・ ・ ・ ・		ネシウム経 特性 / 本権 / 本権	Siを含む、 Siを含む、 So-9%AI-39 シのシクロ組 自山県 特隆・附日 神経・ ・ 田畑裕			
		T4 「サス	座長 副座長	39 【基語 マググ マグリー 日本		40 マグト の4 た	11 Cu, m 用 M M M M M M M M M M M M M M M M M M			
			未介	総	7.5後絶 の評価 酸・木口	© 4				
	·場 §室4)	運ご	座長:東京工大 小林郁夫 副座長:千葉大 山形遼介	y-TiA基合金の粒界反応型組織 形成におよばす切り組織の影響 / 千葉大 (M2)神田太郎・山形 雄介 東京工業大 中島広豊 大阪大 趙 研・安田弘行・中野 青田 東京工業大 竹山雅夫 千葉大 糸井貴臣	汀-6A-4V BJJ合金における微細組織の制御上機破的特性の評価 組織の制御上機破的特性の評価 所本大(M2) <u>角田昂駿・</u> 木口 賢紀・白石貴久	強金/ runk	Ti-3AI-V,Fe,Ni,Cu)-Si合金の組織と塑性特性に及ぼすNi,Cu,Si複合添加の影響 / 香川大 (M2) 檜垣弥里・松本洋明			
1	第1会場 (5階研修室4)	組織制御(ナタン)	東京エナ 長:千葉ナ	y-TiA基合金の% 形成におよぼす初 / 千葉大 (W2) 縫介 東京工業 大阪大 趙 研·女 大阪大 趙 研·女 千葉大 糸井貴臣	Ti-6Al-4V ELI 組織の制御と機 / 熊本大(Mi 賢紀・白石貴人	コールドスプレー 2x1/2Ti-Ni-Zr合 2x1/2Ti-Ni-Zr合 記憶特性評価 、 大島健康 」 IAX 英一 岩手大、 JAXA宇宙研 松	TI-3AI-(V,Fe,Ni,Cu) 織と塑性特性に及ぼ 合添加の影響 / 。 <mark>脅垣弥里・松本洋明</mark>			
	J		座長: 副座县	~形/遊大貴午 记式 个阪由葉 サカナ						
				o		<u> </u>	12			
	8:55 ~ 10:15 ~									

í	•B)	ا ان	ША	で発えた。 高量を対し、 単単 を関係を 一種	Albarana 大型 Ala Ala Ala Ala Ala Ala Ala Ala Ala Ala Ala Ala Ala Ala Ala Ala Ala Ala Ala Ala Ala Ala Ala Ala Ala Ala Ala Ala Ala Ala Ala Ala Ala Ala Ala Ala Ala Ala Ala Ala Ala Ala Ala Ala Ala Ala Ala Ala	- (MI) - (MI) - (MI)	老 水 田	ne金にお におよば 九州大 戸田裕之 諸大 平 見人・上相		
墙	(ものつくりイノベ3階研究室A・B)	T2「アルミニウムの 水素脆化機構究明と水素脆化・ 応力腐食割れ防止の最前線」⑤	濱田 繁 : 西村克彦	162 Al-Cu-Mg/Al-Zu-Mg系合金冷間 取下 圧延材の水素脆化亀製進展準動 の放射光高速X線ラジオグラフィ による解析 / 茨城大 (D2)呉 子見・小林純也 大阪大 堀川 敏大郎 茨城大 倉本 繁・伊藤 吾朗	n 相およびT相を析出させたAl- Zn-Mg-Cu合金の環境助長疲労 破壊特性 / 九州大(M2 <u>施森</u> 整人,藤原比吕,戸田裕之 JASRI 竹内晃人・上椙真之	無電解 N_1 -P N_2 -さが7075 N_1 ミニケム合金の水素能性に及ぼす影 V_1 在島工大 <u>日野 妻</u> N_1 、 没用工厂 日野 X_2 X_3 代刊 大路工夢 X_3 一般の一般の一般の一般の一般の一般の一般の一般の一般の一般の一般の一般の一般の一	Al-4%Cu-1.5%Mg合金の粒界析出 と水素能化の関係 / 茨坡大 (D1) <u>伊藤温海</u> ・(B4)木村太紀・ (M1)美澤昭龍・伊藤吾朗・倉本 繁・小林純也	ウ数/ surfi		
第6会場	シイノベ3	T2「アルミニウムの 6化機構究明と水素 貧食割れ防止の最前	九州大 濱田 富山大 西村	-Mg/Al-Z オの水素脂 オ光高速Xi 群析 / 小林純也 パ 茨城七	n 相および打相? 20m/g-Cu合金 破壊特性 / / 整人 嫌原比 / / 竹内晃久・上椙	RNI-P&つ ・金の水素 ・広島エテ た夢・(B4)/1 く 黒坂成 木 堀川敬	Al-4%Cu-1.5%Mg ² と水素能化の関係 (D1 <u>分藤温布</u> ·(B4) (M1)美濃部龍・伊 繁・小林純也	高Zn7xxx系アルミニ けるがわ水素能化剤 すRRA処理の影響 整度比呂・Yatei Wan 鳥取大 清水一行 山恭介 JASR 竹 真之		
9	(ものつく	T2 水素脆化 応力腐負	座長 副座長	162 Al-Cu-M 取下 圧延材の のため解光 による解光 ごよる解光 でよる解光 でから 野大郎 野大郎 吾母・山村	163 n相才 Zn-M, 破壊神 彰人。 竹内身	164 無電解N ウム合金 響 / 淡	1 65 Al-4% と水沸 (D1)角 繁・小	166 高Zn7xx 计多格对 于RRAA 基原压 高原压 高数大 直表为大		
			- 本多							
) 	AM室)	表面処理·腐食·防食②	DACJ 大谷良行 日本軽金属 榎 修平	カソードERV 法によるフィルム次陥 発生原因となるAI-Mn合金基材表 面組織の観察方法 / 神戸製鋼 <u>松門克浩・</u> 館山慶大・阿部智子	エアコン熟交換器用ブレコートアルミーウムフイン材における耐食性 に及ぼす塗膜水部が性の影響 に入りな了、1水を選手・梶浦拓・ 表原加奈・藤村涼子	ブレート式熟交換器用A1050アルミニウム板製に熱面の陽極酸化による海水耐食への影響 / 佐賀大 有馬博史	AEモニタリングと機械学習法を用いた5083アルミニウム合金の金属間化合物な子による局部腐食の解析 人 東京大 (PD) <u>武 凱覧</u> 白岩隆行・榎 学 (PD) <u>武 凱覧</u>	アルミニウムの耐食性に及ぼすCr 添加の影響 / MAアルミ <u>中村</u> 優奇・吉野路英		
第5会場	(3階CAD/CAM至)	処理・腐ら	座長 UACJ 大谷良行 E長 日本軽金属 榎修	ドERV法に IBとなるA (の観察方 <u>浩・</u> 館山陽	/素交換器 7.4.7.4.7.4 7.塗膜水 7.塗膜水 6.5.1 小松 6.藤村沙	プレート式熱交換器用AII(ミニウム板製伝熱面の陽格 よる海水耐食への影響 / 大 有馬博虫	AEモニタリングと いた5083アルミー 関係と参加されて 関係 東京大 自岩隆行・榎 学 自岩隆行・榎 学	アルミニウムの耐 添加の影響 / 優希・吉野路英		
	38	表面(座長 副座長							
			弘朗	09-1 - 132 - 132	133	7 年 4 年 7 日 X H H H H H H H H H H H H H H H H H H	- 7 2 C 135 C 2 C 2 C 2 C 2 C 2 C 2 C 2 C 2 C 2 C	- スとし 136 - スとし 136 - シータ 連 (M2)		
	至3)	ム合金の 数受性 7レ化」①	西田政弘 , 森田知朗	Ag系合金の5 トデスト速度の / 防衛大		合金リサイク/) たるその含有5 度の影響 / 整・(B4)永山	にアム合金をベースと] ル模様アルミーウム合金 かのひずみ建度感受性 ELA、(MI)超短障シート 第一・西田政弘・成田麻 電市工研・谷口 智・U UAC] 宮崎 悟・戸次	A合金をベースと 権アルミーウム合金 に与えるひずみる なおを 1003. (M1)都策隆 名古屋市工研 名古屋市工研 名古屋市工研 経計 UACJ 宣		
第4会場群群	(4階研修至3)	T1「アルミニウム合金の ひずみ速度感受性 およびそのモデル化」①	古屋エ大 レゾナック	【基調講演】 Al-Mg系合金の引 張変形に及ぼすひずみ速度の影響とそのモデル化 / 防衛大 山田浩之		6082アルミニウム合金リサイクル時 の鉄元素混入によるその含有率 およびひずみ速度の影響 / 大 既公立大 <u>株田 努</u> ・641永山 啓・三村耕司	民々以福信古	ごか		
	7)	コニア	座長 名古屋エ大 副座長 レゾナック							
				7 大 所 大 が 大 が 大 が 大 が も に の に の に の に の に の に の に の に の に の に の に の に の に の に の に の に の に の に の に の に の に の に の に の に の に の に の に の に の に の に の に の に の に の に の に の に の に の に の に の に の に の に の に の に の に の に の に の に の に の に の に の に の に の に の に の に の に の に の に の に の に の に の に の に の に の に の に の に の に の に の に の に の に の に の に の に の に の に の に の に の に の に の に の に の に の に の に の に の に の に の に の に の に の に の に の に の に の に の に の に の に の に の に の に の に の に の に の に の に の に の に の に の に の に の に の に の に の に の に の に の に の に の に の に の に の に の に の に の に の に の に の に の に の に の に の に の に の に の に の に の に の に の に の に の に の に の に の に の に の に の に の に の に の に の に の に の に の に の に の に の に の に の に の に の に の に の に の に の に の に の に の に の に の に の に の に の に の に の に の に の に の に の に の に の に の に に の に の に の に の に の に の に の に の に の に の に に の に に の に の に の に の に の に の に の に の に に に に に に に に に に に に に	ク面の形をなる。 と親を強	201 [面] (II)	後にお 103 ボール コール 単端洋東京工	タン 104 () 自 () は ()		
1 20	2)		日本軽金属 山中宏介 長 NACJ 鈴木太一	A5052合金とA6061合金の異材線 形摩擦接合と離手特性 / 広島 大 <u>崔 正原</u> ·日野隆太郎 大阪 大 青木祥安·藤井英俊	電磁圧接によるAZ31マグネシウム 合金板と網板の接合とその項面組 織観察 A 手葉大 (MI <u>)太沼友</u> 着・観 キセンシリ・林琰貞・山形道 介 都立産技高専 岡川啓晤 千葉大 糸井貴臣	アルミニウム板材と鋼板の直接異種材接合技術における接手外面 構造制御 / 神中製鋼 岩瀬 構造制御 / 特円製鋼 岩瀬 近、泊圭一郎 大阪工大 (MI) 人保奎太・伊與田宗慶	177 4X , mili	A1070アルミニウム/ TP340チダン 異種材料円盤摩擦接合における 接合界面形成機構の検討 / 富 山大 (M1) <u>山崎末侑・</u> 柴柳敏哉		
第3会場	(4階研修至2)	接合②	k軽金属 UACJ ŵ	A5652合金とA6061合金0形態梯接合と維手特性 大 <u>维 正原</u> ·日野修太良 大 青木祥安·藤井英茂大 大 青木祥安·藤井英俊	王接によるAZ: 板と鋼板の接7 蔡 / 千葉大 題 キヤノンルい 都立産技高車 木 糸井貴臣 大 糸井貴臣	ミークム板材と網花 後合 技術における 随間 / 神戸製 当主一郎 - 大阪工 奎大・伊與田宗慶	アルミニウムと銅の電磁圧 ける板材の変形・弾気に2 ルミニウム合金種の影響 ルミニウムの豊産体盤、被3 日本軽金属、鈴木健大 大 熊井真次	ルミニウム/ 旧盤 摩擦 形成 機構 1) 山崎 末様		
,	(4)		座長 日7 副座長	A5052合 悉 本 大 生 一 本 本 十 本 十 十 章 本 十 十 十 章 章 十 十 十 十 十 十 十	動の で を の の の の の の の の の の の の の の の の	アルミウ 種材接合 構造制御 整・治圭一 人保垂太・	アルミニウムと ける板材の変 ルミニウム合金 本大 (M2)東 日本軽金属 大 熊井真次	A10707 異種材物 接合界面 山大 (M		
		<u> </u>		75 女 72	で	77 77 12 12 13 13 14 15 16 17 17 18 18 18 18 18 18 18 18 18 18 18 18 18	海拉河 间	18 20 20 20 20 20 20 20 20 20 20 20 20 20		
	1)	14 「サステナブル軽金属蓄電池用電板料の開発」②	: 産総研 中津川勲 長岡技科大 中田大貴	AM系マグネシウム合金におけるウレケンが機能性に優かた有機落媒 19シシリ連性に優かた有機落媒 「富山大(B4 <u>)水野(略・M2</u>)福 田祥隆・附田之成 日本マテリア ル 橋本嘉昭 埼王産技セ 栗 原英和 富山大 会田哲夫	AM系リナイルル材料を用いたマグ ネシウム着電池負極材料用Mg- 9%Al-3%Ca合金薄構の作製とサイクル特性評価 / 畠山大 イクル特性評価 / 畠山大 (M2)福田祥隆・(B4)水野 樹・所 田之欣 日本マテリアル 橋本 嘉昭 中越合金鋳工 田畑裕信 場工産技セ 栗原英紀 富山県 立大 鈴木真田美 富山大会	有機溶媒に L)ウレタン剥離した $AM系マグネンウム合金製ステアリングホイール芯金のテクソモール テルグによる水平)サイルル検針 富山大 が田之次(B4)水野 A (A)が高田祥隆、会田哲夫 田本マテリアル 橋本嘉昭 埼玉本マテリアル 橋本嘉昭 埼玉産技セ 栗原英紀 日本製鋼所山口 繋$	陈冷辉八哲 県羽	心臟以9日 投祭		
第2会場	(4階饼修至1)	ステナブル軽金属蓄 電極材料の開発」②	総研 中間 別技科大	ネシウム合 性性に優れて (B4) <u>水野</u> 旧田之所 喜昭 埼三 富山大 ś	AM系リナイクル材料をF オシウム書電池負債材材 9%A1-3%Ca合金薄帯 イクル特性評価 / 6 (M2)福田祥隆・(B4)水野 田之依 日本マテリア 高部 日本マテリア 森昭 日本マテリア 本 素昭 中越合金鋳工 素昭 対表 統五産技で 栗原英紀 立大 鈴木真由美 留	有機溶媒によりウレダン剥騰U AM系マグネシウム合金製スラ ガイールが金のチウンモーデインがこよる水平リャインモーディングによる水平リャイのが 国山大 断田之位・643分 種・6402協田洋隆・会田哲夫 本マテリアル 橋本嘉昭 埼 本セテリアル 橋本嘉昭 埼 産技せ 栗原英紀 日本製約 田口 繋	トラウム蓄電池用貨 Al、Ca、Cu添加によ 金の電気化学棒性 金の電気化学棒性 カル大 (84)松本拳 変作・附田之派・会 合金鋳工 田畑裕/ と 環原芸紀 - 自 真 由美 大阪工大 真 由美 大阪工大	急冷藤固法によるマグネン 電池用Mg-Al-Ca-Cu合金 幅広化とと高が加による電気 特性の評価 ブロルヤ 井俊佐・(D3)桐本雄市・所l 中越合金棒工 田畑裕信 エ大 羽賀俊雄 埼玉産 東原英紀 宮山県立大 由美 熊本大 山崎倫昭 山大 会田哲夫		
AIN E	(4階	サステナ電極材	座長 産 副座長 長師	AM系マグネッウム合金におけ レダン剥離性に優れた有機落 アダン剥離曲は、個カ大野・趙・M 田祥隆・附田之所 日本マラ ル 橋本嘉昭 埼玉産技セ 原英紀 富山大 会田哲夫 原英紀 富山大 会田哲夫	AM系リサイクル材 ネシウム蓄電池賃 9%AI-3公名合金 7クル特性評価 (M2)福田祥隆・(B4 に 日本マラ 恵田 上版 日本マラ 嘉昭 中越合金 嘉福 中越合金 基本 音本 音 基本 音 音 表 音 表 音 表 音 表 音 表 音 表 音 表 音 表 音 表	有機溶媒によりウレ AM系マグネシウム AM系マグネシウム アイングによる水型 「富山大 <u>附田、</u> 一 富山大 <u>附田、</u> 本マデリアル 橋本 本マデリアル 橋本 産技セ 栗原英紀 出口 毅	マグネシウム蓄電池用負権 希のAl, Ca, Cu然加による 名金の電気化学特性の / 富山大 (84) 松本泰哲 福井俊作・附田之所・会田 中雄合金鋳工 田畑裕信 産技セ 栗原英紀 富山 鈴木真田美 大阪工大 維 熊本大 山崎倫昭	高冷藤固法による高能用Mg-Al-C(電池用Mg-Al-C(電池用Mg-Al-C(電池) を井俊佐・(D3) 桐本 井俊佐・(D3) 桐本 中越合金修工・エ大・羽賀俊雄・エ大・羽賀俊雄・エ大・羽賀俊雄・は東東原英郎・自美・熊本大・山大・会田哲夫・		
		T4 F	圖	42	43	*	45	· 46		
		(74)	\永哲也 □賢紀	労き裂進度 韓囲気の鼻 <u>遊介</u> 東 東京工大 東京工大	で開発した耐熱チグン 制御が耐熱性に及ば 長岡技科大 (M2)丼 日間特殊鋼 工藤大 や・小物禎彦 長岡 間留た	5Al-2Sn- 高温鍛造# た影響因 (M2) <u>金丸</u> (M2)金丸	/およびTi- る高温酸化の 新居浜高 専 三	5の高温酸化浸 熊本大MRC 人		
第1会場	(5階研修至4)	高温特性 (チタン・マグネシウム)	JAXA宇宙研 松永哲也 長長 熊本大 木口賢紀	合金の高温疲労き客及で有当後できる 及ぼ子温度と雰囲な (M2)機材間一・明 : 糸井貴臣 東京: : 木井貴臣 東京:	レで開発した耐熱チタ織制御が耐熱性に及り 織制御が耐熱性に及り 大国牧科人 (W2) 大同株発働 工藤大 い洋・小御禎彦 長岡 に関智な	ジン用TI-5AI-2Sn- No-6金の高温鍛造 習を利用Cた影響区 番川大(M2) <u>金丸</u> 明	純チタン4 (における) 察 / 第 高橋知司	Mn合金の 性 / 熊 可村能人		
紙 報	(5階)	高(チタン・マ	E長 JAXA宇宙研 松永哲七副座長 熊本大 木口賢紀	TiAJ基合金の高温疲労き裂進展 特性に及ぼす温度と養用気の影 響 // 中葉大 <u>山形蓬介</u> 東工/ 大葉人 <u>山形蓬介</u> 青工大 (M2)機村龍一・中島広豊 千葉大 糸井貴臣 東京工大 竹山雅夫	Mnを利用して開発した耐熱チタン 台金の組織制御が耐熱性に及ぼ 才影響 / 長岡科科 (M2) <u>性</u> 田拓 大同特殊鋼 工藤大 輔・安藤知洋・小柳禎彦 長岡 技科大 本間智之	航空機エンジン用Ti-5Al-2Sn- 2Zn-4Cn-4Mo合金の高温鍛造特性と機体型を利用した影響因子催と機能で / 香川大(M2)金丸 の推定 / 香川大(M2)金丸 岬・松本洋明	大気中での純チタンおよびTi- 6A1-4V'合金における高温酸化の 速度論的考察 / 新居浜高専 名誉教授 <u>高橋知司</u>	Mg-Al-Ca-Mn合金の高温酸化準動と不燃特性 / 熊本大MRC 排上置一・河村能人 井上置一・河村能人		
			座長 副座	CT 记录鑑定上介	7 2 名 す 日 輔 技	75 海 22 本 2 画	10 10 11 12 13 13 14 14 15 16 17 18 18 18 18 18 18 18 18 18 18 18 18 18	77 M 無出		
	10:30 × 15 15 17 17 17 17 17 17 17 17 17 17 17 17 17									

第6会場(キのブベリイノベ3階研究室4.8)	溶解・铸造・凝固①	座長:東京電機大 原田陽平 副座長:UACJ 皆川晃広	167 Al-Si-Mg合金鋳造材の引張変形 発動に対するMg添加量の影響 / 名古屋工大 (M2)腹野寒二・ 徳永逸子・萩原幸司 トヨタ自動 車 手島将蔵	168 Al-Si-Mg系合金連続鋳造材の微 細組織と加工組織が機械的特性 (C及ぼ子影響 / 山形大 (M2) 佐野 選・(B4)離が進入・人米裕 ニ ヤマハ発動機 佐津川浩 司・栗田洋戦・岩崎進也	169 ADC12アルミニウム合金の表層組織が力学特性に与える影響 / 維備道大 (M2) <u>大名女孫・</u> 池田賢一一・三浦畝司 トヨタ自動車 富田高嗣・古川雄一	170 双ロールキャストしたAC2Aアルミニウム合金板の性質 人 大阪工大 羽賀俊雄	171 アルミニウム合金板鋳造用メルトドラッグ双ロールキャスターの特性 / 大阪工大 羽賀俊雄
第5会場 (3階CAD/CAM室)	表面処理・腐食・防食③	座長:MAアルミ 吉野路英 副座長:神戸製鋼 渋谷雄二	137 「軽金属躍進賞受賞講演】アルミ 1-7 との耐食性評価における酢酸の役割 / UACJ 大谷良行の役割 / UACJ 大谷良行	138 熟酸化したbcc単相Mg-Sc合金の 14	139 Mg-Zn-Al-Ca-Mn系希薄合金圧 14 延材の腐食塗動に及ぼす合金成 分の影響 / 産総加 中津川 敷, 貴幹ショウ・Ban Mingzhe・千 野靖正 日本金属 佐藤雅彦 不ニライトメタル 上田祐規	140 高温高湿処理によるアルミニウム 1. 表面改質とよれによる耐食性改善表面改質とよれによる耐食性改善/ 旭川高専 千葉 誠・(B)齋藤/ 1. 1. 1. 1. 1. 1. 1. 1. 1. 1. 1. 1. 1.	141 摩擦撹拌を付与した Al-Zn-Mg系 17合金のシアのお職を応力腐食割れ 合金のシア和職を応力腐食割れ 挙動 / 富山県立大 伊藤 勉 日本催金属 半田缶土・堀 久司 日立製作所 馬揚輝明・岩松史 則・川崎 健
第4会場 (4階冊條室3)	T1「アルミニウム合金の ひずみ速度感受性 およびそのモデル化」②	座長: NACA 宮崎 悟副座長: 神戸製鋼 小林拓史	105 【基調講演】アルミニウム合金製 1 新撃吸収部材における動的およ び静的特性 / 日本軽金属 <u>安</u> 在英司	_	107 放射光X線イメージングを用いた 高濃度イメージングを用いた 高濃度イメーNg-SiG 金の内部組織 および電製進展評価 / 大阪大塩川盤人態 JASRI 星野真人・上杉健太朗	108 アルミニウム合金における降伏応 1 カのひずみが東度優を住び及ぼす マグネシウム濃度の影響 / 神 戸大 (M2)山口光生 NMS Singh Alok・土谷浩一 神戸大 向 井戦司	109 超高速衝突時のマグネシウム合金 1 ブルミーウム合金機器圧着ウラッ ドガからのイジェクル対象 メイカからのアリンテット メータ 名古屋工大 国田政弘・(M2) 川瀬幹已 熊本大 外本和幸・ 稲尾大介
第3会場 (4略研修室2) (4	接合③	座長:日本大 渡邉満洋 副座長:富山大 土屋大樹	77 Effect of welding processes and filler materials on fatigue strength of Mg-Al-Ca-Mn alloys / Nagooka Univ. of Tech. ZHANG Nan-SHAO Xuanyi NAKATA Taiki MIYASHITA Yukio KAMADO Shigeharu	78 電磁圧接回路のインダクタンスが、 アルミーウム合金/1GPa級ハイテ アルミーウム合金/1GPa級ハイテ ン鋼の後合性に及ぼ子影響 千葉大(M2)難を、稜・(現」形3 チール)間山 響・山形遊介 都 立産技高専 岡川啓悟 千葉大 糸井貴臣		80 A2017を用いた車椅子製造のため 1 の接着練手の開発 / 拓雕大 の投資機 子植 コーヤンステムデ ザイン 松野史幸 ヤスダ・ブ レース 安田篤史 拓浦大 木 原幸一郎	81 Al-Mg-Si系合金板材の抵抗スポット発展におけるFe添加の影響 ポット容験におけるFe添加の影響 イ・神戸製鋼 神谷岐良・岩瀬 哲・永田康弘
第2会場(4)	7.7月かりをエソフトを金属蓄電池用電極材料の開発」③	座長:熊本大 山崎倫昭 副座長:富山県立大 鈴木真由美		48 単ロール式急冷凝固法により作製 したマグネックム合金/アルミュウム合金/アルミュウム合金/アルド毒やの製造条件の 検討と電気化学活性の評価 富山大 (M1)原 一希・(D3)桐本 維市・(B4)松本素和・所田之欣 中越合金鋳工 田畑裕信 埼玉 産技セ 晃原英紀 富山県立大 鈴木真由美 大阪工大 羽賀俊 雄 富山大 会田哲夫	薄と F ヒとを	50 マグネシウム蓄電池用Mg-9%Al- 3%Ca負債格料等溝の塩化鉄溶液 浸漬による板膜形のと電気化学特性に及ぼす影響、ルと電気化学等性に及ぼす影響、の上のボールでは、MI)対西浩基・M2)伊東瑞葵・所 田之依 中越合金鎌工 田畑裕 信 埼玉産牧セ 栗原英紀 富 山県立大 鈴木真由美 大阪工 大 羽賀俊雄 富山大 会田哲 夫	51 単ロール式急冷藤固Ng-9%Al- 83%Ca薄帯の塑性加工による電気 化学特性の変化 / 富山大学特性の変化 / 富山大(84)魚鳥、運・M22伊東福等・所田之所・会田哲夫 中越合金錦工 田畑裕信 埼玉苺技セ 栗原英紀 富山県立大 鈴木真由美 大阪工大 羽賀俊雄 長岡技科大 中田大貴
第1会場(5階研修室4)	粉末冶金・ポーラス材料①	座長:芝浦工大 湯本敦史 副座長:広島工大 日野 実	18 【軽金属躍進賞受賞講演】レー 4 ・「増層 造形法の急冷凝固プロセスを括かしたアルミニウム合金の 耐熱性向上 / 大阪産技研 本 村貴広		19 分子動力学シミュレーションによる 4 アルミコウム合金の粉末保容融結 合における不均一核生成能の評 価 / 大阪大 奥川将行・(M1) 高島大空・小泉雄一郎	20 レーザ粉末床溶融結合法で製造 15 された機相組織を呈すAn-10Si- 0.35Mg/Mo複合体の機械的特性 / 春川大 (M2)天野餐太・松本 洋明 香川県産業技術で 宮内 創・横田耕三	21 規則セル構造を有するポーラスプ [5 ルミコウム合金の機械的特性に及 ルミコウム合金の機械的特性に及 アニウムのですみ場の影響 / 東京者の大大人(22)小幡勇太郎・(M1)高坂真生・北薗幸一
] 		13:10~ 14:50 1-1	lw	N

F究室A·B)	国②	时直紀 :田秀幸	双ロール (は) 及ばず注 (は) 及ばず注 (場) 東京 (場) 東京	CJ-SAI-3%Si- い鋳造板の内部 査・	テフィによるAI- によける融液 には5ける融液 場関数 / 場関数 / MJ)下川貴 現名古屋大)	7弦を用いた凝固 いたよろアルミニケ 溶固実験のシ、3、 を右唇大 (M2) 頼有登・原田 寛 な	「重拡散対流 富山大 富山大 田志・柴柳敏
第6会場 (ものづくりイノベ3階研究室A・B)	溶解•鋳造•凝固②		172 Al-3%SI-1%Fe合金 板の表面・断面組織 湯温度の影響 / (D)温龍星上・原田 工大 熊井真次	173 X線CT-とDIC法 1%Fe合金双ロー	174 時間分解X線トモグラフィによるAI (CL合金の凝固過程における融液 中の等軸がシドライルの運動の三 次元・時間分解その場観察 / 京都大 鳴在大翔・(M.I F.川貴大・(M.2)中埜創入・(現 名古屋大) 勝部流司・安田秀幸	175 セルオートマトン 組織予測キデット レーション ドーション 野 龍 (M1)高い UACJ 皆川見	176 Al-Si合金における二重拡散対流 と凝固組織の関係 / 富山大 (MI) <u>下出機介・</u> 山根岳志・柴柳敏 哉
第5会場 (3階CAD/CAM室)	力学特性 (アルミニウム)		142 「軽金属奨励賞受賞講演】ブルミニケム合金の力学特性向上に向けた水素学動解析 / 新居浜高専 真中後明	143 放射光 <i>h~stu</i> XRD/DIC同時測 在老用いた Al-Mg合金の異なる 形状を示すセレーション解析 / 兵庫県立大 (M2)村上翔太・足立 大樹	144 6000系アルミニウム合金板材の伸 びに及ぼすCu添加の影響 / UACJ 山本昇由・新野 拓・中西 英貴・浅野峰生	145 7003アルミニウム合金の焼入れ速度が冷間鍛造性へ及ぼす影響 / 山形大 (M2) <u>桑原 ナ・</u> 久米 裕二	146 6000系/7000系クロスオーバーア ルミニウム合金押出材の機械的性質 / UACJ <u>高谷 舞・</u> 策田 正
第4会場 (4階研修室3)	組織制御 (アルミニウム)	座長 千葉工大 寺田大将 副座長 神戸製鋼 秋吉 竜太郎	10	111 2618アルミニウム合金の耐グリー ア性に及ぼす添加元素の影響 / 長岡技科大 (M2) <u>壽 植治</u> UACJ 中川翔大・宮崎 悟 長 岡技科大 本聞智之	112 二段時効したAl-4,0molwZn-4,0molwZn-4,0molwMg行会に去ける機械的性質とシロ組織観察 / 富山大(M2)人大隆壁・(D3)Ahmed Abrar:土屋大樹・孝 昇原・村上 哲・松田健二 アイシン軽金属 濱高 枯樹・柴田果林・松井宏昭・吉田朋夫 富山大名誉教授 池野	113 加工熟処理を施したAl-1.5Cu-0.5Mg(mol%)合金の異なる時効処理温度での微細維観察 / 富山大 (M2)越石健太・(D)Nu Ngoc Hai・季 昇原・土屋大樹富山大名巻教授 池野 進 富山大名巻教授 池野 進 富山大 松田健二	114 加工熱処理を施したAl-Mn合金の 1 等温熱処理での組織変化 大 同
第3会場 (4階研修室2) (4	接合④	座長 大阪産技研 岩岡秀明 副座長 UACJ 新里喜文	82 指字後の高階線 1 指字後令体のポーラス化を利用した易分離化における接合速度の 影響 / 群馬大 (84)島羽都矢・ 半谷禎彦 大阪大 藤井英俊 東京大 吉川暢宏	83 A2024アルミニウム合金摩擦攪件 発合線モの時効特性に及ぼす工 具形状の影響 / 室間工大 (N2)護藤松翔・安藤哲也・田湯善 章・(B4)辻 晃大 ワールド山内 小野寺邦之 道総研 櫻庭洋 平・植竹売太・川上諒大	84 ADC12アルミニウムダイカスト合金の周相批散接合体に対する機械的特性指面 / 公立職訪東京理科大 (M2)土居みらい モールズアケ 北澤敏明・巻渕浩志拓殖大 志村 穣 公立諏訪東京再科大 内海重宜	85 孔型圧延ロールを用いたAl-Ng合 金冷間圧延板のジンT集合組織変 化 / 海上保安大 兼子 塾・ (事交科)栗田瑞生・(事攻科)横 頼知	86 A不織布を用いて作製したA1基複合材料の作製及び組織観察 / 合材料の作製及び組織観察 / 国山大 (M2)潜水元陽・幸 昇原・土屋大樹 富山大名・巻数段 池野 進 富山大 松田修二
第2会場 (4階研修室1)	T4「サステナブル軽金属蓄電池用電極材料の開発」(4)	座長 大阪工大 羽賀俊雄 副座長 中越合金鋳工 田畑裕信	1. 夏生)の、毎	53 リチウム蓄電池用アルミニウム負 極薄帯の電気化学特性におよば す鉄とマンガンの影響 / 富山 大 (M1)日比野匠朗・(M2)山口建 也・附田之依・土屋大樹・松田億 二・会田哲夫 中越合金鋳工 田畑裕信 埼玉産技で 栗原英 紀 大阪工大 羽賀俊雄	54 リチウム蓄電池用AI-Si系負極薄 帯の電気化学特性に及ぼす二次 加工の影響 / 竜山大 (M2)山 口達山・附田之が-上屋大樹・松 田様二・会田哲夫 中越合金 鋳工 田畑裕信 埼玉産技セ 栗原英紀 長岡技科大 中田大 貴 大阪工大 羽賀俊雄		
第1会場 (5階研修室4)	粉末冶金・ポーラス材料②	130	22 【軽金属女性未来賞受賞講演】 によりリバ発泡法で作製する発泡 アルミニウム合金の安定化メカニズム / 早稲田大 <u>高松聖美</u> ズム / 早稲田大 <u>高松聖美</u>	 23 ポーラス構造に基づくアルミニウム 表面のライデンフロスト効果の却 用 / 北海道大 岩井 愛・(M1) 野口尚安・北野 翔・伏見公志・輻 崎浩樹 	24 熟マネジメント用ボーラスアルミニウムの構造制御による熟伝導性の改善 / 住友電気工業 小林亮平・三谷教己 / 正・三谷教己	25 X線透過画像を用いたポーラスアルミーウム形状付与過程における ルミニウム形状付与過程における 内部流動の解析 / 群馬大 (M2)後藤貴赴・天谷賢児・半谷禎 彦・大田直哉	26 光加熱によるボーラスアルミニウム の発泡過程における新生面の形 成学動 / 群馬大 (M1) <u>粒下雄</u> 一切子谷臀児・半谷積彦 TMEIC 矢野絢子 NES アブダ ラヤッセ
			••	··	15:05 ~ 2 16:45	1	1

	Al-Mg系合金における転位密度と転位運動の変形モード依存性 / 茨城大(M1)小位 <u>巧真・(M2)鈴木建人</u> 横浜国立大 Pramote Thirathipviwat 神戸製鋼松本克史 茨城大 佐藤成男	溶融Al-Zn合金に浸漬した鋼 板の固液界面反応に及ぼす 合金元素の影響 / 名古屋 大 (M2)大見泰央・ (PD)Dasom Kim・髙田尚記・ 鈴木飛鳥・小橋 真	Mg-Al-Mn(-Ca)合金押出材 の組織形成および機械的性 質に及ぼす押出速度の影響 / 長岡技科大 (M2) <u>松原大</u> 和・中田大貴・鎌土重晴 三 協立山 蟹谷 駿・松本泰誠・	ホモデルによる縦型高速双 ロール鋳造法におけるアルミ ニウム浴湯流れの可視化 東京電機大 (M2)伊藤尚輝・ 原田陽平 東京工業大 熊 井真次	Mg含有アルミニウム合金の表 面酸化に及ぼす熱処理時 間,温度,残留イオンの影響 / 群馬高専(B)城 敷土・ 加藤正明・高山雄介・山内 啓	ショルダーレスツールを用いた摩擦撹拌接合による非熱処理型アルミニウム合金のミグロ組織と室温力学特性/ 山県立大(M1)加藤維弥・伊藤・田県立大(M1)加藤維弥・伊藤・地・田・田・田・田・田・田・田・田・田・田・田・田・田・田・田・田・田・田・
裙※	P31	P32	P33	P34	P35	P36
部太田キャンパス 2階~5階 廊下)※在席時間をNo.の奇数/偶数に分けて実施※)~14:10 ポスターNo.奇数の発表者が在席 5~15:15 ポスターNo.偶数の発表者が在席	Al-Si合金上への異なるアニオンを挿入したMg-Al系層状複水酸化物皮膜の作製と評価 / 芝浦工大 (MI) <u>松井</u> 偉央・(M2)古殿幸祐・石崎貴裕	Mg-Al-Mn合金圧延材の室温 変形拳動に及ぼすZnとCa同 時添加の影響 / 長岡技科 大 (M2)Fifeev Aneesa binti Mohd Reeza・中田大貴・鎌土 重晴	レーザ粉末床溶融結合法に より作製したAl-Ti 合金の組 織と機械的性質 // 東北大 (M1) <u>三浦隆宗</u> ・周 振興・周 偉偉・野村直之	クラッド・チップ押出しを用い た発泡アルミニウムの創製 / 群馬大 (M2)藤原敞土・ 鈴木良祐・大木凉介 足利 大 三田一也・小林重昭	真空蒸留法による超高純度 Mg-Zn合金の作製とその溶解性よれよび機械的特性評価 / 東北大 (M1)佐々木和真・上田恭介 富山高専 井上 誠 長岡技科大 中田大貴 弘前大 峯田才寛 東北大 成島尚之	AC4Bアルミニウム合金の表 面色調に及ぼす微量元素の 影響 / 群馬高専 (B) <u>高橋</u> <u>純大・</u> 高山雄介・山内 啓
間をN	P25	P26	P27	P28	P29	P30
ヤンパス 2階~5階 廊下)※在席時 ポスターNo.奇数の発表者が在席 ポスターNo.偶数の発表者が在席	無攪粋溶湯プリカーサ法を用 いた連続鋳造によるポーラス アルミニウムの作製 / 群馬 大 (M1) <u>ケプラーに</u> ・鈴木良 枯・(B4)佐藤 隼・西田進一・ 半谷禎彦	ロストワックス遠心鋳造法を用 いた小型複雑形状発泡アルミニウムの作製 // 群馬大 (M1)萩原 尊・鈴木良祐	Mg-Zn系合金押出材の微細 組織、腐食特性および機械的 特性に及ぼす添加元素と押 出温度の影響 / 長岡技科 大 (M2)東海尚希・中田大 貴・鎌土重晴	表面組織制御したAl-Zn- Mg-Cu合金中の水素挙動 / 新居浜高専 (B)独元研 人・真中俊明 九州大 井 原史朗	不均一組織を利用したMg-3A1-0.4Mn合金圧延材の曲げ成形性と引張特性の同時改善 / 長岡技科大(M1)仲江勇登・中田大貴・鎌土重晴	熱処理型アルミニウム合金に 対するショルダーレスツール を用いた摩擦攪拌接合 / 富山県立大 (M2)廣住映樹・ 伊藤 勉 日本軽金属 堀 久司
2 Z N N N N N N N N N N N N N N N N N N	P19	P20	P21	P22	P23	P24
(理工学 ① 13:16 ② 14:15	初晶粒子を球状化したAl- 6.4Si合金の溶融挙動その場 観察 / 早稲田大 (D2) <u>土</u> 田菜施・髙松聖美 大阪大 門井浩太 早稲田大 鈴木 進補	5052アルミーウム合金/1050 アルミーウム箔材の摩擦機件 重ね接合における摩擦音解 析 / 宇都宮大 (M2)岡本 龍郎・山本篤史郎・高山善 正・渡部英男	局所加熱発泡補修したポーラスアルミニウムの補修強度に スアルミニウムの補修強度に 及ぼす加熱時間の影響 / 群馬大 (M2) <u>伊藤勇人</u> ・鈴木 良祐・半谷禎彦・(B4)大木涼 介 足利大 小林重昭・三 田一也	補助入熱を用いたA5052アルミニウム合金箔材/C1020銅板ドコウム合金箔材/C1020銅板材の摩藤機拌重ね点接合す。 宇都宮大(M2)小川蔵人・山本篤史郎・高山善匡・渡部英男	Fe及びMnを添加にたAl-Si鋳造合金の α -Al/ α -Al _{is} (Fe,Mn) $_{3}$ Si ₂ 共晶組織の制御 / 名古屋大 (M2)北 竣太・高田尚記・鈴木飛鳥・小橋 眞 トヨタ自動車 古川雄一・冨田高嗣	微量にMg添加し熱処理を施 したAl-7%Si合金のミクロ組織 観察 / 富山大 (M2)福島 洋也・七屋大幡・李 昇原 富山大名誉教授 池野 進 富山大 松田健二
ジ 山	<u>P</u> 3	41 Y	P 15	P16	P17	P18
2024年11月9日(土) ポスターセッション	MA-SPSプロセスで作製した Al-23% Si-Cr合金の硬さに及 ぼす加熱処理の影響 / 日 本大 (M2) <u>永田和聖・</u> 久保田 正広	アルミーウム合金基材上への AIO(OH)皮膜形成に起因する皮膜/基材界面近傍において落皮膜/基材界面近傍において落葉質原子の分配挙動/ 芝浦工大 (M2)直播浩輝・洋澤 愛	国溶酸素量の異なるTi-O合 金鋳造材のミクロ組織と力学 特性 / 富山県立大 (M2) 井端浩人・伊藤 勉 物材 機構 戸田佳明	マグネンウム合金表面〜の酸 化グラフェン被膜形成と評価 / 東京電機大 (M1)返本 航・(B4)松村和哉・小貫祐介	熱処理により第2相粒子を制御した難燃性マグネシウム合金AZX611鋳造材のシウロ組織と力学特性 / 富山県立大 (M1)福埜光二・伊藤 飽大 (M1)福埜光二・伊藤 飽	Mg-Zn合金の時効硬化組織 に及ぼすAg添加の影響 / 富山大 (M2) <u>竹畑俊吾</u> ・上屋 大樹・奉 昇原 富山大名 誉教授 池野 進 富山大 松田健二
024年	P07	80d	P09	014	P11	P12
2(アルミニウム合金展伸材を利 用したCO ₂ メタネーション用構 造体触媒の開発 / あいち 産業科学技術総合セ <u>阿部</u> 祥忠・鈴木正史	・ Mg/LPSO後相合金押出材の 引張塑性異方性発現メカニズ ム / 名古屋工大 (M2)尨 田三佳・萩原幸司・徳永透子 熊本大 山崎倫昭・眞山 剛	Class 型Al-Mg固溶体合金 ~PeおよびSi添加による第2 相粒子形成が熱間延性に及 ぼす影響 / 富山県立大 (B4)平野祐樹・伊藤 勉	 前処理を施したAl-Zn-Mg合金基材上への水蒸気プロセスによるAlO(OH)及職の均一作製 / 芝浦工大 (M2)<u>若林蔵</u>: 井澤 愛 	 水蒸気プロセスを用いてAl- Mg-Si合金上に作製した AlO(OH)皮膜の耐食性に及 ぼす高温酸化皮膜の影響 / 芝浦工大 (M1)自田悠 主・(M2)朝田有希子・芹澤 愛 	 粉末冶金法で作製したMg-Nb合金の硬さに及ぼす加熱 処理の影響 / 日本大 (M2)<u>志村偉織・</u>久保田正広
	P01	P02	P03	P04	P05	P06

	結晶粒径の異なるAZ31マグ ネシウム合金板材のプレス総 り加工 / 千葉工大 (M1) <u>菅井真都</u> ・田村洋介	電磁凝固プロセスを適用した Al-25mass%Si合金の組織と摩 核・摩耗特性 / 千葉工大 (MI) <u>尾迫友裁・</u> 田村洋介	TiCへテロ凝固核粒子添加に よるAl-10mass/Si- 0.4mass/Mg合金の鋳造およ び積層造形組織への影響 / 名古屋工大 (84)鮫嶋美 空・渡辺義見・佐藤 尚・成田 麻木・山田素子 アーレス ティ 折井 晋 滋賀工技総	微細化剤添加時のアルミウム合金中の核生成と凝固組織の関係に関する一方向凝固実験による検討 / 名古国実験による検討 / 名古屋大 (MI)高瀬有登・原田寛 UACJ皆川晃広	水素プラズマ照射したアルミ ニウム基板の微細構造解析 / 水城大 (MI)湯田浩登・ 伊藤吾朗・佐藤直幸・倉本 繁・小林純也	爆着法により作製したマグネ シウム合金/アルミニウム合金 三層クラッド材の組織と機械 的性質 / 名古屋エ大 (84)合井宮太・成田麻末・佐 藤 尚・渡辺義見 産総研 Bian Mingzhe・千野靖正
	P67	P68	P69	P70	P71	P72
奇数/偶数に分けて実施※	Zn添加LたAl-Si-Cu-Mg合金 鋳造材の時効析出挙動に及 ぼす微細組織の影響 / 室 蘭工大 (MI)下中稜也・安藤 哲也・(D2)荒木駿佑・田湯善 章 トヨタ自動車 手島将蔵	アルミニウム合金における析 出物形状が転位密度変化に 及ぼす影響 // 兵庫県立大 (MI) <u>井上敬仁</u> ・足立大樹	Mg-X (X=Y, Yb) 合金の高温 酸化挙動と不燃性 / 熊本 大 (MI) 吉田慶 <u>治郎</u> 熊本 大MRC 井上晋 — SPring- 8 Loku Singgappulige Rosantha Kumara 熊本大 MRC 河村能人	加工 MgYZn 希薄合金の低温CAL形成過程におけるグラスター成長拳動の解析 / 京都大 (M2) <u>近藤大</u> 樹・奥田倍司・平山赤介・(M2)大石純市司・平山赤介・(M2)大石純カケ 熊本大 井上晋一・河村能人 JASRI 太田 昇	アルミニウムのアノード酸化に おけるcoating ratioと硫酸電 解核濃度の関係 / 工学院 大 (MI)村田優介・萩原健 太・阿相英孝	AZ31Bマグネシウム合金板材 の円筒深絞り加工に伴う組織変化 / 千葉工大 (M2)藤 木恭典・田村洋介
₹No.0	P61	P62	P63	P64	P65	P66
(理工学部太田キャンパス 2階~5階 廊下)※在席時間をNo.の奇数/偶数に分けて実施※ ① 13:10~14:10 ポスターNo.奇数の発表者が在席 ② 14:15~15:15 ポスターNo.偶数の発表者が在席	アルミニウム合金A7075の薄 板連続鋳造 / 群馬大 (M2 <u>) 上野 颯</u> ・(M1)松村省 吾・西田進一	高強度マグネンウム合金の半 凝固鍛造の成形可否の検討 / 群馬大 (M2)大竹祐世・ (M1)石川大起・西田進一	アルミニウム合金基複合材料 の半凝固鍛造における金型 温度上昇の影響 / 群馬大 (M1)石川大起・西田進一	総型双ロールキャスターを用 いた低速高圧下でのアルミニ ウム合金A6061の薄板連続鋳 造 / 群馬大 (M1) <u>松村省</u> 吾・(M2)上野 颯・西田進一	LoRawANによるアルミーウム 合金A6061の双ロールキャス ティング実験中のCO2濃度の リアルタイム測定 / 群馬大 (MI)井口太陽・(MI)右川大 起・(MI)松村省吾 両毛ン ステムズ 岩視雅史 群馬 大 奥 浩之・中沢信明・白石 洋一・齋藤貴之 順天堂大 隈丸加奈子 群馬大 西田 進一	室温時効した過剰Ge型Al- Mg-Ge合金のシクロ組織観察 / 富山大 (MI) <u>石黒祐輔</u> ・ 李 昇頃・七唇大樹 富山 大名誉教授 池野 進 富 山大 松田健二
2 と	P55	P56	P57	P58	P59	P60
\sim	摩擦攪拌スポット接合した A5082アルミニウム合金 /C1100銅接合材の複合材強 度に及ぼすツール保持時間 の影響 / 日本大 (M2)道 雨皓・渡邉満洋・野口 祐・吉 田和範	Mg-Al-Zn-Sn系合金双ロール鋳造材/樹脂積層材のプレス成形化 / 東京電機大ス成形性 / 東京電機大(MI)山田蒼樹・戸塚穂高・渡利久規 大阪工大 羽賀俊雄 富山県立大 鈴木真由	アルミニウムのアノード酸化に 及ぼす電解液のpH及びグリ シン添加の影響 / 工学院 大 <u>楠山翔太・</u> 萩原健太・阿 相英孝	A4045アルミニウム合金 //S5400銅摩擦攪拌接合体の ボーラス化を利用した易分離 における気孔をの影響 / 群馬大 (MI)五 <u>貝拓磨</u> ・半谷 稍彦・小山直司 大阪大接合研 藤井英俊 東京大吉川陽宏	圧縮ねどり加工がA7050アルミーウム合金の微視組織およい機械的性質に及ぼす影響 / 名古屋工大 (B4)細野 慶、成田麻未・渡辺義見・佐藤 尚 超々ジュラルミン研究所 吉田英雄	電磁凝固プロセスにより作製 したAI-Si共晶合金の引張特性 / 千葉工大 (M2) <u>布施</u> 直 <u>哉</u> ・田村洋介
セッシ	P49	P50	P51	P52	P53	P54
2024年11月9日(土) ポスターセッション	ローラー成形したA1050ポーラスアルミニウムのX線CT画像を用いた機械学習による圧縮強度予測 群馬大縮強強度予測 群馬大(M2)返口裕樹・(M1)長竹真吾・半谷禎彦・田中勇構・阿田賢二 東京大 吉川暢宏	アルミニ 5)摩擦圧: 3)を速度の (M2)山本 田賢二・ 鈴木孝明	Al-Mg-Si-Cu系合金鍛造材 の組織に及ぼす組成および プロセス条件の影響 / 茶 城大 (M1)美 <u>濃部値</u> ・伊藤吾 財 トヨタ自動車 逢坂 崇 財 トヨタ自動車 逢坂 崇 茨城大 倉本 繁	無電解Ni-Pめっきされた 6061-T6アルミニウム合金の 疲労特性に及ぼすベーキン グの影響 広島工大 (M1) <u>浅田歩夢</u> 日本製鋼所 川上滉太 大阪大 堀川敬 太郎 上村工業 黒坂成 吾・大久保洋樹 広島工大	規則セル構造を有するボーラスアルミニウム合金における ファルス追加による機械的異 方レース追加による機械的異 方性制御 $/$ 東京都立大 $(M1)高坂真生 \cdot (M2)小幡勇太郎・北薗幸一$	Ti基層状炭化物を析出させた TiAl合金へのZr添加の影響 // 熊本大 (M1) <u>坂本青音・</u> 白石貴久・木口賢紀
20	P43	P44	P45	P46	P47	P48
			構造が制御された アルジナフィルター 東京都立大(M1) り・柳下 崇	アルミニウム合金における固 溶元素が引張変形中の転位 組織変化に及ぼす影響 / 兵庫県立大 (M2)井戸本京 平・足立大樹	加熱発泡直後のローラー成 形による接合を用いた3層構 造ポーラスアルミニウムの作 製 / 群馬大 (M1) <u>長竹真</u> 吾・半谷禎彦	低サイクルのARB加工法によ り作製されたAI-0.8%Si- 0.8%Ge合金の時効挙動 / 岡山理科大 中川惠友・(MI) 佐藤星太 京都大 辻 伸 泰・朴 明驗 岡山理科大 名誉教授 金谷輝人
	P37	P38	P39	P40	P41	P42

部太田キャンパス 2階~5階 廊下)※在席時間をNo.の号1~14:10 ポスターNo.奇数の発表者が在席1~15:15 ポスターNo.偶数の発表者が在席	た P103E 炉冷したAl-6Zn-0.79Mg合金 の相分離挙動と高温熱処理 効果の検討 / 長岡技科大 (M1) <u>松崎宇志</u> ・本間智之	P104E 強ひずみ加工を施したAl-Mg 合金のひずみ速度依存性に 及ぼす溶質原子の影響 / 神戸大 (M2)山口法生 NIMS シンアロック・土谷浩一 神戸大 向井敏司	 ▶ 105E	P106E ラボサイズX線小角散乱法を	賞 P107E 板状単結晶Al ₃ Tiをヘテロ凝 国核とした高純度アルミニウム 鋳造材の結晶学的方位制御 / 名古屋工大 (M2)鎌田航 大・渡辺義見・佐藤 尚・成田 麻未・山田素子・中村翔太	 P108E 7075アルミニウム合金への蒸気コーティング法を用いた Mg-Al系層状複水酸化物含有皮膜の作製 / 芝浦工大(M2)立殿幸在・(M1)松井偉央・石崎貴裕
	P97 ~テロ疑固核粒子を添加した 容接用A7003アルミニウム合金ワイヤーの作製と指向性エネルギー推積法への応用 人名古屋工大 (B4)東郷岳大 山田素子・成田麻赤・佐藤 尚・渡辺義見 UACJ 田中 芸樹 ヤマハ発動機 鈴木 貴庸・栗田洋敬 三菱電機 森田大嗣	P98E その場観察によるlaser powder bed fusionにおける絶 チタン粉末の周期的な溶融 現象の評価 / 早稲田大 (D2)若井悠貴・(M1)備舎祐 太・(B4)平沼拓也 産総研 瀬渡直樹・佐藤直子・ジョディ デニス 早稲田大 鈴木進	P99E CNT添加によるTi系バルク金 P105 属ガラス複合材料の筋食特性 取下 向上 / National Taiwan Ocean University <u>Pee-Yew</u> Lee	P100E アルミニウムイオン電池用 MXeneペース正極材の作製と 評価 / 芝浦エ大 (MI)藤 原由会・(M2)小嶋祐海・(MI) 今村雄登・(M1)塩 彰仁・石 崎貴裕	P101E Al-Zn-Mg合金の機械的性質 および組織に及ぼす銅添加 の影響 / 富山大 (M1)蠍 堯飛・李 昇原・土屋大樹 富山大名誉教授 池野 進 富山大 松田健二	P102E Al-Cu-Mg(-Si)におけるS'/S 相の人工時効過程と相変態 / Univ. Toyama (D1) <u>Vu</u> Ngoc Hai・幸 昇原・土屋大 樹 富山大名誉教授 池野 進 富山大 松田健二
	1 アルミニウムのバイボーラア ノード酸化時の皮膜生成効率 に及ぼす電解液濃度の影響 / 工学院大 (MI)佐竹竜乃 介・萩原健太・阿相英孝	2 析出強化型アルミニウム合金 における冷延に伴う転位増殖 の時効条件依存性 / 茨城 大 (M2)鈴木建人 横浜国 立大 Pramote Thirathipviwat 神戸製鋼 松本克史 茨城 大 佐藤成男		4 粉末床溶融結合でのAl-Si共 晶合金の階層的組織を利用 した多階層性ポーラスSi材料 の作製 / 大阪大 (MI) <u>糖</u> 戸口博俊・奥川等行・小泉雄 一郎・中野貴由	5 重ねたA1050およびA6061 ポーラスアルミニウムの機械 学習を用いた圧縮強度予測 / 群馬夫 (M2)北原悠真・ (M2)坂口裕樹・半谷禎彦・岡 田賢二	6 アルミニウム材料の長寿命化を目指した新規自己修復性表面層の開発 / 旭川高専(B)高田りん・千葉 誠
	4 (1 0 0 4 1)	5 ケイ素を含んだブリカーサの 加熱によるポーラスアルミニウ ムの低温発泡化 / 群馬大 (MI) <u>富田 雄</u> : 半谷禎彦 大 阪大接合研 藤井英俊	AZ91マグネンウム合金細管 P93 の半溶融押出成形 / 東京 電機大 (M1) 三 <u>森智貴</u> ・(B4) 中井 株・(B4)維野巧貴・戸塚 穂高・茂利久規 大阪工大 羽賀俊雄 大阪工大	8 高耐食Mg-Y-Zn希薄合金押 P94 出材の高強靭化 / 熊本大 (M1) <u>竹中航大・</u> 西本宗矢・山 崎倫昭 名古屋工大 萩原 幸司	Al添加によるMg-Y-Zn希薄合 P95 金押出材の耐食性と機械的 特性の改善 / 熊本大 (M1)石嶺伝桑・西本宗矢・山崎倫昭 協倫昭) グラフェンで被覆したアルミニ ウム粉末焼結合金による高強 度化と強化機構の解析 / 宇都宮大 (M1) <u>尾崎 誠</u> ・馬 労 豊・(M2)坂本竣世・高山 善臣 ユウアイ電子工業 塩 田正彦 東洋アルミ 村上 勇夫・村川 拓 日産アーク 荒木祥和
	P79 チタン粉末のインサート材を P85 用いた工業用純チタン/S45C	P80 ロール成形と引抜による P86 A6063アルミニウム合金角音 の複合成形 / 東京電機大 (MI)丸山陽一朗・戸塚穂高・渡利人規 大阪工大 羽賀 俊雄	P81 画像処理によるAl-Mg-Si合 P87 金中析出物の定量値化 / 大同大 (M2)小原拓夢・(M1) 長谷川凱士・高田 健 名 古屋大 荒井重勇 本	P82 鋼/アルミニウム合金異材抵 P88 抗スポット溶接継手における 凸形界面形状と接合強度の 関係 / 大阪工大 (MI)人 接金太 神戸製鋼 消圭一郎 岩瀬 哲 大阪工大 伊 奥田宗慶	P83 外部磁場を用いたアルミニウ P89 ム合金抵抗スポット溶接にお けるナゲットの形成状態と電 極損耗 / 大阪工大 (MI) 石川新汰・伊與田宗慶	P84 Al-Si共晶合金の粉末床溶融 P90 結合における溶融・凝固の数 値熱流体力学解析 / 大阪大 (M1) <u>元山誓織・奥川将</u> 大 (M1)元山誓織・奥川将 行・小泉雄一郎・中野貴由
	P73 耐熱チタン合金におけるMo に対するMn置換が機械的性質と組織に及ぼす効果 / 長岡技科 (M2)小林優希大同特殊鋼 安東知洋・工藤大同特殊鋼 安東知洋・工藤大輔・小柳禎彦 長岡技科 大輔・小柳禎彦 長岡技科 大 本間智之		P75 アルミニウム微細化試験にお P8 ける冷却速度と結晶組織の解析 / 春川高専 (B2)田村 健人・嶋崎真一	P76 β型チタン合金の機械的特 PP 性に及ぼすレーザ加工の影響 / 茨城大 (M1)畠山璃 子・(B4)小野寺貴太・倉本 繁・山崎和彦	P77 A1050アルミニウム/C1100銅 PR 摩擦攪拌点接合体のポーラス 化による易分離技術 / 群 馬大 (84)紫崎 撃・半谷禎 馬大 (84)紫崎 撃・半谷禎 彦・岩崎 瀬・鈴木良祐・西田 進一・齋藤昭吾 本坂大接 合研 森貞乒昭・藤井英俊	P78 Ti-Nb-Ta-Zr-O系合金の機 PR 被的特性に及ぼす結晶粒径 の影響 / 茨城大 (M1)松 <u>本拓真・(M1)</u> 畠山璃子・倉本 繁

Program of The 147th Conference of Japan Institute of Light Metals Onsite & Online Hybrid

(November 8-10, 2024 Ota Campus, Gunma University)

1 【Award Lecture】 Development of biomedical titanium alloys and addition of antibacterial properties on Ti focusing on light elements

K.Ueda

2 Evolution of porous structure and mechanical properties of sintered titanium/β-tricalcium phosphate for implant

Y.Tateishi, S.Nishii, M.Oh, E.Kobayashi

3 Factors affecting the color tone of Titanium high temperature oxide layers

R.Ohkita, E.Miura-Fujiwara

4 Microstructure and mechanical properties of porous titanium fabricated using sodium chloride as a spacer

S.Nishii, E.Kobayashi, M.Oh, Y.Tateishi

5 Effect of oxygen on tensile deformation behaviour of commercially pure titanium sheet

S.Ando, T.Hirooka, H.Kitahara

6 Mechanical Properties and Electronic Structure in Ti-Al Alloys

T.Matsunaga, M.Kaiho, Y.Aoki, K.Uchida, K.Tanaka, J.Takeda, I.Katayama, E.Sato

7 Microstructure and Mechanical Properties of hcp-type TiZrHfAlx Medium Entropy Alloys

M.Todai, N.Takahashi, T.Nagase, A.Matsugaki, T.Nakano

8 Evaluation of mechanical properties of multiphase Ti-Au mille-feuille alloy

T. Yonemura, K. Hagihara, T. Tokunaga

9 Effect of initial microstructure on microstructure formation by grain boundary reaction in γ-TiAl alloy

T.Kanda, R.Yamagata, H. Nakashima, K. Cho, H.Y. Yasuda, T.Nakano, M.Takeyama, T.Itoi

10 Control of microstructure and evaluation of mechanical properties in Ti-6Al-4V ELI alloys

T.Tsunoda, T.Kiguchi, T.Shiraishi

11 Evaluation of shape memory properties of Ti-Ni-Zr alloy thin plate by Cold Spraying

K.Oshima, E.Sato, H.Tobe, T.Matsunaga, H.Matsumiya

12 Effect of Ni, Cu and Si composite addition on the microstructure and plastic properties of Ti-3Al-(V,Fe,Ni,Cu)-Si alloys

M.Higaki, H.Matsumoto

13 Effects of temperature and environment on high-temperature fatigue crack growth behavior in TiAl based alloys

R. Yamagata, R. Isomura, H. Nakashima, T. Itoi, M. Takeyama

14 Effect of microstructural control on heat resistance of creep resistant Ti alloys containing Mn

T.Serita, D.Kudo, T.Ando, Y.Koyanagi, T.Homma

15 High-temperature forging characteristics of Ti-5Al-2Sn-2Zr-4Cr-4Mo alloy for aircraft engines and estimation of influencing factors using machine learning

M.Kanamaru, H.Matsumoto

16 Kinetics studies of high-temperature oxidation in pure titanium and Ti-6Al-4V alloys in air

T.Takahashi

17 Oxidation behavior and nonflammability of Mg-Al-Ca-Mn alloys

S.Inoue, Y.Kawamura

18 【Award Lecture】 Improving heat resistance of aluminum alloys by utilizing rapid-solidification process of laser powder bed fusion

Γ.Kimura

19 Heterogeneous nucleation ability in powder bed fusion of aluminum alloys evaluated by molecular dynamics simulations

M.Okugawa, H.Takashima, Y.Koizumi

20 Mechanical properties of Al-10Si-0.35Mg/Mo composite material having multi-phase structures fabricated by laser powder bed fusion process

T.Amano, H.Matsumoto, H.Miyauchi, K.Yokota

21 Effect of local strain field for mechanical properties of porous aluminum alloys with regularity cell structure

Y.Obata, M.Kosaka, K.Kitazono

22 [Award Lecture] Stabilization mechanism of aluminum alloy foams through semi-solid route

S.Takamatsu

23 Suppression of the Leidenfrost effect on aluminum surface based on porous structures

M.Iwai, T.Noguchi, S.Kitano, K.Fushimi, H.Habazaki

24 Improvement of thermal conductivity by structural control of porous aluminum for thermal management

R.Kobayashi, A.Mitani

25 Analysis of internal flow in porous aluminum shaping process using x-ray transmission images

T.Goto, K.Amagai, Y.Hangai, N.Ota

26 Formation behavior of new surfaces during foaming process of porous aluminum by optical heating

Y.Matsushita, K.Amagai, Y.Hangai, A.Yano, Y.Abdalla

27 **[Keynote]** Stress corrosion cracking of 7xxx aluminum alloys

T.Minoda

28 [Keynote] Development of High-Strength 7000 Series Aluminum Alloy Extrusion for Auto-Parts

T.Shikama

29 Effect of the step-quenching after solid solution treatment on SCC resistance of high strength 7000 series aluminum alloy extruded materials

T. Yoshida, Y. Hamataka, S. Lee, T. Tsuchiya, S. Murakami, K. Matsuda

30 Evolution of nanostructures and age-hardening behavior of an Al-6%Zn-0.75%Mg alloy with different quenching conditions

M.Mihara-Narita, K.Yamashita, H.Yoshida

31 Structure of vacancies and their effect on clustering of solute atoms in Al-Zn-Mg alloys

M.Mizuno, R.Miyamoto, H.Araki, K.Sugita, M.Mihara-Narita, H.Yoshida

32 Time Evolution of Nanostructure during heating in Al-Zn-Mg with different cooling rate

M.Ohnuma, T.Suzuki, T.Ishida, S.Fukuda, M.Narita, H.Yoshida

33 Aging properties of Al-Zn-Mg alloy controlled cooling rate after solution heat treatment

S.Araki, T.Aono, T.Ando, M.Mihara-Narita, H.Yoshida, K.Ikeda, Y.Tayu

34 Tensile behavior of furnace-cooled Al-Zn-Mg alloys

T.Aono, S.Araki, T.Ando, M.Mihara-Narita, H.Yoshida, K.Ikeda, Y.Tayu

35 Improvement of heat dissipation characteristics of resin materials by adding recycled aluminum materials

W.Murata, T.Namba, E.Morohashi, T.Tsukeda, T.Aida, T.Kato, M.Yoshikuni, S.Nishimura, S.Tsujisaka

36 Effect of aluminum and graphite filler on heat dissipation property of resin material

T.Namba, E.Morohashi, W.Murata, T.Tsukeda, T.Kato, M.Yoshikuni, S.Nishimura, S.Tsujisaka, T.Aida

37 Thermal expansion behavior of aluminum matrix composites prepared by low-pressure infiltration to AlN porous body

G.Sasaki, X.Yan, Y.B.Choi, K.Sugio

38 Fe removal from Al-Fe alloy through selective dissolution of Al in molten Sn

K.Maeda, K.Kato, H.Ono

39 [Keynote] Status of development of electrode materials for rechargeable batteries using aluminium and magnesium

T.Ichitsubo, H.Li, K.Shimokawa

40 Mechanical and electric properties of magnesium foil

H.Somekawa, N.Motohashi, S.Kuroda, T.Mandai

41 Microstructures and electrochemical activity of Mg-9%Al-3%Ca base alloy anode ribbon materials for magnesium rechargeable batteries including Cu and Si

M.Suzuki, R.Mori, Y.Fukuta, T.Tsukeda, H.Tabata, H.Kurihara, T.Aida

42 Organic solvent superior in urethane peeling in AM-based magnesium alloys

T.Mizuno, Y.Fukuta, T.Tsukeda, Y.Hashimoto, H.Kurihara, T.Aida

43 Fabrication of Mg-9%Al-3%Ca alloy ribbons for the anode material of magnesium rechargeable batteries using AM-based recycled materials and evaluation of cycle characteristics

Y.Fukuta, T.Mizuno, T.Tsukeda, Y.Hashimoto, H.Tabata, H.Kurihara, M.Suzuki, T.Aida

44 Horizontal recycling study of AM-based magnesium alloy steering wheel cores stripped of urethane by organic solvents using thixomolding

T.Tsukeda, Y.Fukuta, T.Mizuno, T.Aida, Y.Hashimoto, H.Kurihara, T.Yamaguchi

Evaluation of the electrochemical properties of each binary alloy by adding Al, Ca and Cu to ribbon of anode material for magnesium rechargeable batteries

T.Matsumoto, S.Fukui, T.Tsukeda, T.Aida, H.Tabata, H.Kurihara, M.Suzuki, T.Haga, M.Yamasaki

Widening of Mg-Al-Ca-Cu alloy ribbon for magnesium rechargeable batteries by rapid solidification method and evaluation of electrochemical properties by adding Ca

S.Fukui, Y.Kirimoto, T.Tsukeda, H.Tabata, T.Haga, H.Kurihara, M.Suzuki, M.Yamasaki, T.Aida

47 Preparation of Magnesium/Aluminum Clad ribbon Using Single Roll Rapid Solidification Method and Application to Thermal-Fluid CAE Analysis

Y.Kirimoto, I.Hara, T.Tsukeda, T.Aida, Y.Nemoto, H.Tabata, T.Haga, H.Kurihara, M.Suzuki

48 Investigation of manufacturing conditions and evaluation of electrochemical properties of magnesium alloy/aluminum alloy clad ribbon prepared by single roll rapid solidification method

I.Hara, Y.Kirimoto, T.Matsumoto, T.Tsukeda, H.Tabata, H.Kurihara, M.Suzuki, T.Haga, T.Aida

- 49 Investigation of nitride film formation by nitrogen plasma treatment of anode ribbons for magnesium rechargeable batteries
 M.Ito, T.Tsukeda, T.Aida, J.Kagami, H.Tabata, H.Kurihara, M.Suzuki, T.Haga
- 50 Effects on film formation and electrochemical properties of Mg-9%Al-3%Ca anode ribbons for magnesium rechargeable batteries immersed in iron chloride solution

H.Muranishi, M.Ito, T.Tsukeda, H.Tabata, H.Kurihara, M.Suzuki, T.Haga, T.Aida

51 Changes in electrochemical properties of single-roll rapidly solidified Mg-9%Al-3%Ca ribbon by plastic working

R.Uonomi, M.Ito, T.Tsukeda, T.Aida, H.Tabata, H.Kurihara, M.Suzuki, T.Haga, T.Nakata

52 Effect of manufacturing conditions on electrochemical properties of aluminum anode ribbons for lithium rechargeable batteries using single roll rapid solidification method

T.Nishikawa, T.Hibino, T.Yamaguchi, T.Tsukeda, K.Matsuda, T.Aida, H.Tabata, H.Kurihara, T.Haga

53 Effect of iron and manganese on electrochemical properties of aluminum anode ribbons for lithium rechargeable batteries

T.Hibino, T.Yamaguchi, T.Tsukeda, T.Tsuchiya, K.Matsuda, T.Aida, H.Tabata, H.Kurihara, T.Haga

54 Effect of secondary processing on the electrochemical properties of Al-Si anode ribbons for lithium rechargeable batteries

T.Yamaguchi, T.Tsukeda, T.Tsuchiya, K.Matsuda, T.Aida, H.Tabata, H.Kurihara, T.Nakata, T.Haga

55 [Award Lecture] Fabrication of general-purpose wrought magnesium alloy with high-performance

T.Nakata

56 Microstructures and mechanical properties of extruded Mg-Cu-Ca alloys

M.Bian, X.Huang, Y.Chino

57 Toughening mechanisms of the extruded Mg-Y-Zn alloys with multimodal microstructure

S.Nishimoto, K.Takagi, K.Hagihara, M.Yamasaki

58 Effects of Equal-Channel Angular Pressing conditions on the fatigue properties in ZM21 magnesium alloy

R. Yamada, Y.Ito, S. Yoshihara, Y. Nosaka, D. Suzuki

59 Phase stability of LPSO phase formed in Mg-Co-M-Y alloys (M=Zn, Cu)

K.Iwase, Y.Handa, R.Yamagata, T.Horiuchi, S.Miura, T.Itoi

60 In-situ measurements of phase transformation with recovery/recrystallization in dilute cast MgYZn alloys

H.Okuda, D.Kondo, J.Oishi, K.Hirayama, S.Inoue, Y.Kawamura

61 Effect of mille-feuille structure on kink strengthening in Mg-Zn-Y alloys

Y.Kawamura, R.Tsuchiyama, S.Inoue

62 Formation of LPSO phase in Mg-Y-Co-Ni alloy analyzed by synchrotron radiation experiments

J.Oishi, H.Okuda, M.Yamasaki, S.Nishimoto, N.Ohta, Y.Niwa

- 63 Microstructure analysis of deformed dilute cast Mg-Y-Zn alloys prepared by ultra-slow cooling examined by SWAXS

 J.Nakajima, H.Okuda, K.Hirayama, M.Yamasaki, S.Nishimoto, N.Ohta, T.Miyabe
- 64 Preparation of Mg-In-X (X=Al, Ga) alloys and their rolling property at room temperature

R.Murakami, T.Matsui, R.Nagata, R.Yamagata, T.Itoi

65 Hydrogen generation behavior by using galvanic corrosion of Mg-In-Ga alloys

R.Nagata, R.Murakami, T.Matsui, R.Yamagata, T.Itoi

- 66 Effect of Manufacturing Method on Properties of Heat-Dissipating Mg-Al-Ca-Mm-Mn Alloys
 - E.Morohashi, M.Ito, Y.Kirimoto, T.Tsukeda, Y.Hashimoto, M.Hino, T.Aida
- 67 Effect of short-time solution treatment after ECAP processing on microstructure of AM60B magnesium alloy

K.Shirakura, N.Saruwatari, E.Sekiya, Y.Nakayama

[Award Lecture] My research career: In-situ observation of Aluminum brazing and multidisciplinary research on Aluminum

T.Suzuki

69 Evaluation of bondability between aluminum brazing and silicon nitride substrate by dipping tests

T.Kusumoto, M.Ootaki, S.Hirosawa

70 Synergistic effect of pressurization and component clearance on flat joint brazeability improvement in A3003 aluminum alloy

K.Funatsu, K.Suzuki

71 Infuence of grain size at brazing temperature on bonding ability of filler-supplying Al-Si-Mn alloy sheets for fin stocks

R.Nakagawa, W.Nakagawa, D.Yamamoto

72 Dissimilar linear friction welding of A5052 alloy and A6061 alloy

J.W.Choi, R.Hino, Y.Aoki, H.Fujii

73 Welding of AZ31 magnesium alloy and steel sheets by magnetic pulse welding and its interfacial microstructure observation

Y.Mizunuma, T.Kobayashi, R.Yamagata, K.Okagawa, T.Itoi

74 Control of interface structure in direct dissimilar material joining technology between aluminum and steel sheets

T.Iwae, K.Tomari, K.Kubo, M.Iyota

75 Effect of aluminum alloy species on deformation and collision of plates in magnetic pulse welding of aluminum and copper

T.Shoji, M.Watanabe, K.Suzuki, S.Kumai

- 76 Investigation of the mechanism of interface formation in Disc Friction Joining of A1070 aluminum/ TP340 Titanium dissimilar materials M.Yamazaki, T.Shibayanagi
- 77 Effect of welding processes and filler materials on fatigue strength of Mg-Al-Ca-Mn alloys

N.Zhang, X.Shao, T.Nakata, Y.Miyashita, S.Kamado

- 78 Influence of Inductance in Magnetic Pulse Welding Circuit on Weldability of Aluminum Alloy/1GPa Class High Tensile Strength Steel
 R.Kanematsu, H.Mayama, R.Yamagata, K.Okagawa, T.Itoi
- 79 Investigation of easy dismantling metal rivet fabrication technique by foaming

R.Sunaga, Y.Hangai, A.Iwasaki, S.Saito, Y.Goto, H.Fujii, Y.Morisada

80 Development of adhesive joints using A2017 for Wheelchair Manufacturing

Z.Jiang, F.Matsuno, A.Yasuda, K.Kihara

81 Effect of Fe addition on resistance spot welding of Al-Mg-Si alloy sheets

S.Kamiya, T.Iwase, Y.Nagata

82 Effect of joining speed on easy separation of A1050 Aluminum/SS400 Steel friction stir welded joints using foam

F.Toba, Y.Hangai, H.Fujii, N.Yoshikawa

83 Effect of tool geometry on aging properties of A2024 aluminum alloy applied friction stir welding

S.Endo, T.Ando, Y.Tayu, A.Tsuji, K.Onodera, Y.Sakuraba, R.Uetake, R.Kawakami

84 Mechanical properties for solid phase diffusion bonded ADC12 aluminum die-casting alloys

M.Tsuchiya, T.Kitazawa, H.Makibuchi, J.Shimura, S.Utsumi

85 Micro texture evolutions of cold-rolled Al-Mg alloy sheets using grooved rolls

S.Kaneko, M.Kurita, R.Maki

86 Fabrication and microstructure observation of Al based composite with Al filter

H.Shimizu, S.Lee, T.Tsuchiya, S.Ikeno, K.Matsuda

87 Effects of powder oxidation on Ti-6Al-4V alloy powders flowability for additive manufacturing

N.Kakegawa, W.Zhou, N.Nomura

88 Thermally activated process of dislocation glide in Ti-V alloys

R. Yano, T. Morikawa, S. Yamasaki, T. Tsuru, M. Tanaka

89 Effect of frequency on current efficiency in plasma electrolytic oxidation of AZ31B magnesium alloy

Y.Kokubo, K.Hagiwara, H.Asoh

90 Electrolyte and separator design toward superior magnesium sulfur batteries

R.Iimura, S.Riedel, Z.Zhao-Karger, S.Dinda, H.Kobayashi, M.Fichtner, I.Honma

Investigation of supercooling in micro-confined aluminum alloys

Y.Shimizu, M.Jeem, T.Nomura

92 Effect of dust concentration on preheat zone in aluminum dust explosion

R.Saeki, W.Kim

93 Microstructural change in multimodal microstructure-controlled magnesium alloy during compression and tension

M.Yamasaki, K.Horiguchi, D.Drozdenko, S.Nishimoto, K.Hagihara, T.Tokunaga, S.Harjo, W.Gong

94 Microstructural changes in 6111 aluminum alloy during tensile deformation at 388K

H.Miyata, T.Yamamoto, Y.Takayama, H.Watanabe

95 Investigation of microstructure observation for 6000-series aluminum alloy by SEM-ECCI method

S.Aoya, Y.Kimura, Y.Abe

96 Application of CAE in Plastic Forming of High-Strength 6000 Series Aluminum Alloys

S.Shimazu, N.Yamazaki, Y.Kirimoto, T.Tsukeda, T.Aida, T.Kitanishi

97 Effect of friction force anisotropy on earing behavior during deep drawing of 3104 aluminum alloy hard sheet

Y.Inoue

98 Effect of chemical compound on edge cracking during cold rolling of aluminum alloys

Y.Tabuchi, N.Nakazawa

99 Relationship between buckling and material properties of aluminum beverage can bottoms under axial load

K.Orio, H.Fukumasu, K.Takegawa, K.Yoshida

100 Improvement of formability of silicon-containing recycled aluminum alloy by hot stamping after rapid heating

R.Kawana, S.Hirosawa, M.Ootaki, T.Maeno, Y.Suzuki, Y.Yabuki

101 [Keynote] Effect of strain rate on tensile deformation of Al-Mg alloys and its modeling

H.Yamada

- Effects of iron element content percentage and strain rate on 6082 aluminum alloy due to excess iron element inclusion in recycling

 T.Umeda, H.Nagayama, K.Mimura
- 103 Strain-rate sensitivity of flow stress of recycle simulant aluminum alloys based on 6082 aluminum alloy

R.Tsuzuki, X.Guo, M.Nishida, M.Mihara-Narita, S.Taniguchi, T.Yamamoto, S.Miyazaki, Y.Bekki

104	Effects of strain rate on fracture strain of recycle simulant anolys based on 6082 aruninum anoly
	X.Guo, M.Nishida, R.Tsuzuki, M.Mihara-Narita, S.Taniguchi, T.Yamamoto, S.Miyazaki, Y.Bekki
105	[Keynote] Dynamic and static properties of aluminum alloy impact absorbing parts E.Anzai
106	Effect of displacement rate on puncture deformation and fracture in 8006 aluminum alloy foil
	H.Yamada, T.Ueno, N.Ogasawara
107	Evaluation of Internal Microstructure and Crack Propagation in High-Concentration Al-Mg-Si Alloys Using Synchrotron X-ray Imaging K.Horikawa, M.Hoshino, K.Uesugi
108	Influence of magnesium concentration on strain rate sensitivity of yield stress in aluminum alloy T.Yamaguchi, A.Singh, K.Tsuchiya, T.Mukai
109	Perforation hole and ejecta from Al/Mg explosion welding clad materials in hypervelocity impacts
110	M.Nishida, M.Kawase, K.Hokamoto, D.Inao Effect of Z Phase Precipitation on Hardening Behavior during Two-Step Aging of Al-3Mg-1Cu Alloys
	H.Tanaka, M.Oh, E.Kobayashi
111	Effects of additional elements on creep resistance in 2618 aluminum alloy
	R.Kotobuki, S.Nakagawa, S.Miyazaki, T.Homma
112	Mechanical Properties and Microstructural Observations in Two-Step Aged Al-4.0mol%Zn-4.0mol%Mg Alloy
	T.Yagi, A.Ahmed, T.Tsuchiya, S.Lee, S.Murakami, K.Matsuda, Y.Hamataka, K.Shibata, H.Matsui, T.Yoshida, S.Ikeno
113	Microstructure observation of thermomechanical processed Al-1.5Cu-0.5Mg(mol%) alloy at different aging treatment temperatures K.Koshiishi, H.N.VU, S.Lee, T.Tsuchiya, S.Ikeno, K.Matsuda
114	Microstructure evolution during isothermal aging in thermo-mechanically processed Al-Mn alloys
	S.Torigoe, Y.Tsuzuki, Y.Nakashima, K.Takata, E.Tatokoro, K.Ikeda, S.Ii
115	Coincidence Doppler broadening study of solute clustering during natural aging in Al-Mg-Si alloys
	H.Araki, T.Fujii, K.Sugita, M.Mizuno, K.Matsumoto, Y.Shirai
116	Developments of ASAXS/XAFS system in tender X-rays region applied to AlMgSi alloys
	H.Okuda, J.Oishi, T.Miyabe, K.Hirayama, K.Mase
117	Analysis of needle-like precipitates in 6000 series aluminum alloys using small-angle neutron scattering
	B.K.Amalina Aina, T.Homma, M.Ohnuma, K.Ohishi, J. Suzuki, S.Lee, T.Tsuchiya, K.Ikeda, K.Matsuda
118	STEM observation of a 6022 aluminum alloy after pre-aging and natural aging
	K.Gonome, K.Ichitani, D.Egusa, E.Abe
119	Evaluation of slip behavior of mobile dislocations during in-situ tensile-testing TEM observation of Al-Mg-Si alloys
	D.Inoue, S.Hirosawa
120	Effect of transition elements on tensile properties in Al-Mg-Si alloys
	H.Miyano, J.Xing
121	Creep deformation behavior of 6000 series aluminum alloys at aging temperature
	K.Ikeda, A.Tanifuji, S.Miura, K.Takata
122	Effect of dislocation density changed by cold rolling on formation behavior of two types of nanoclusters in an Al-Mg-Si alloy
	S.Takagi, A.Serizawa
123	Atomistic simulations on effects of vacancies on formation process of nanoclusters in an Al-Mg-Si alloy
	M.Shoji, K.Kurihara, I.Lobzenko, T.Tsuru, A.Serizawa
124	Microstructure observation of excess Si type Al-Mg-Si-Cu alloy aged at 523K
	S.Lee, S.Asai, T.Tsuchiya, S.Ikeno, K.Matsuda
125	Microstructural observation of Al-Mg-Si(Cu, Ni) alloy with two-step aging treatment
	K.Fujimoto, S.Lee, T.Tsuchiya, S.Ikeno, K.Matsuda
126	Effect of Impurity Transition Metal Addition on Age-Hardening Behavior of Al-Mg-Si Alloys
	Y.Nakagawa, K.Fujimoto, T.Tsuchiya, S.Lee, N.Nunomura, T.Shibayanagi, S.Ikeno, K.Matsuda
127	Investigation of precipitate sequence during isothermal aging in Al-Mg-Si alloys
	K.Takata, Y.Sano, K.Mizuno, S.Torigoe, G.Saito, M.Ohtsuka, S.Muto, T.Okajima, K.Kamitani, F.Iesari
128	Effect of additional elements of high purity Aluminum substrate on the formation behavior of AlO(OH) film
	Y.Akatani, A.Serizawa
129	Growth behavior of two-layered AlO(OH) film formed on an aluminum alloy substrate in steam atmosphere
	K.Kurihara, A.Serizawa
130	Influence of H ₃ PO ₄ addition to steam source on growth behavior and fatigue properties of AlO(OH) film on an aluminum alloy formed by the steam coating process

Y.Asada, K.Moizumi, A.Serizawa

- 131 Effect of electrolyte species on anion depth profile and crystallinity of barrier type anodic oxide film formed on high-purity aluminum

 H.Miyata, S.Enoki, Y.Shimizu
- 132 Method for observing surface structure of Al-Mn alloy substrates causing film defects using cathodic ERV

K.Matsukado, K.Tateyama, T.Abe

133 Influence of water wettability on corrosion resistance of precoated aluminum fin material for air conditioner heat exchangers

Y.Kosugi, T.Kajiura, K.Ogihara, R.Fujimura

134 Effect on the sea water anticorrosion by anodization of the heat transfer surface made from A1050 aluminum plate for plate heat exchangers

H.Arima

135 Analysis of intermetallic particle induced localized corrosion of 5083 aluminum alloy using AE monitoring and machine learning methods

K.Wu, T.Shiraiwa, M.Enoki

136 Effect of additional Cr on corrosion resistance of aluminum

Y.Nakamura, M.Yoshino

137 [Award Lecture] The Role of Acetic Acid in the Evaluation of Aluminum Corrosion Resistance

Y.Oya

138 Color change and functionality of thermally oxidized Mg-Sc alloys with bcc single phase

Y.Ogawa, K.Doi, T.Hiroto, A.Singh, H.Somekawa, S.Hiromoto

139 Effect of alloying element on the corrosion behavior of Mg-Zn-Al-Ca-Mn dilute magnesium alloy sheet

I.Nakatsugawa, X.Huang, M.Bian, Y.Chino, M.Sato, H.Ueda

140 Improvement of corrosion protection of Aluminum by surface treatment in high temperature and high humidity condition

M.Chiba, K.Saitoh, M.Yamaguchi, H.Ohta

141 Microstructure and stress corrosion cracking resistance of Al-Zn-Mg alloys subjected to friction stir processing

T.Ito, T.Handa, H.Hori, T.Baba, F.Iwamatsu, T.Kawasaki

142 [Award Lecture] Hydrogen behavior analysis for improving mechanical properties of aluminum alloys

T.Manaka

143 Serration analysis showing different shapes in Al-Mg alloy by In-situ XRD / DIC simultaneous measurement

S.Murakami, H.Adachi

144 Effect of Cu addition on elongation of 6000 series aluminum alloy sheet

T.Yamamoto, T.Niino, H.Nakanishi, M.Asano

145 Effect of quenching speed on cold forgeability of 7003 aluminum alloy

S.Kuwabara, Y.Kume

146 Mechanical properties of 6xxx/7xxx cross-over aluminum alloy extrusion

148

M.Takaya, T.Minoda

147 【Keynote】 Hydrogen embrittlement induced by semi-spontaneous interfacial debonding of eta phase and its prevention in Al-Zn-Mg alloys

H.Toda, M.Yamaguchi, T.Tsuru, K.Ebihara, I.Watanabe, T.Sasaki, K.Nishimura, K.Hirayama, K.Shimizu, S.Hamada, H.Fujihara

[Keynote] Identifying hydrogen trapping sites in Al-Zn-Mg alloys by atom probe tomography

T.Sasaki, R.Abe, K.Shimizu, Y.Kamada, H.Toda

149 Analysis of quasi-cleavage fracture behaviour in Al-Zn-Mg alloys by synchrotron radiation CT and TEM

K.Hirayama, H.Toda, H.Fujihara, K.Shimizu

150 【Keynote】 First-principles calculations of hydrogen trapping and separation energies from coherent to incoherent interfaces in aluminum alloys

M. Yamaguchi, T. Tsuru, K. Ebihara, M. Itakura

151 [Keynote] Element strategy for the suppression of hydrogen embrittlement in aluminum alloys

T.Tsuru, M.Yamaguchi, K.Ebihara, M.Itakura

152 Analysis of hydrogen-induced intergranular cracking in Al-Zn-Mg-Cu alloys

S.Tsuchiya, K.Shimizu, Y.Kamada, H.Toda, H.Fujihara, K.Hirayama, M.Koyama, M.Uesugi, A.Takeuchi

153 Nano-level analysis on intergranular hydrogen embrittlement cracking paths in Al-5.7%Zn-2.4%Mg-1.4%Cu alloy

R.Nagai, G.Itoh, S.Ii, S.Kuramoto, J.Kobayashi

154 【Keynote】 Hydrogen trapping mechanism in Al-Mn(Cr, Fe, Ni) alloys using muon spin relaxation method and first-principles calculations

K.Nishimura, K.Matsuda, T.Namiki, N.Nunomura, T.Tsuchiya, S.Akamaru, S.Lee, W.Higemoto,

T.Tsuru, K.Shimizu, H.Toda

155 Analysis of hydrogen trapping in bulk T phase: Mg32(Al, Zn)49

K.Shimizu, S.Akamaru, K.Nishimura, M.Yamaguchi, H.Toda

Numerical study of hydrogen embrittlement suppression by hydrogen penetration into second-phase particles in Al-Zn-Mg alloy K.Ebihara, H.Fujihara, K.Shimizu, M.Yamaguchi, H.Toda 157 Elucidating the microstructure of T-phase in Al-Zn-Mg alloy with low Zn/Mg ratio A.Ahmed, S.Lee, T.Tsuchiya, K.Matsuda, K.Nishimura, N.Nunomura, H.Toda, K.Hirayama, K.Shimizu, M.Yamaguchi, T.Tsuru, M.Itakura 158 [Keynote] Multiscale modeling of hydrogen entitlement in aluminum alloys I. Watanabe, T. Tan Predicting strength properties of 7000 series aluminum alloys in hydrogen environments: a proposed method S.Hamada, T.Hojo Analysis of crystal orientation dependence of hydrogen embrittlement fracture in Al-Zn-Mg alloys using crystal plasticity finite element method T.Hojo, S.Hamada 161 Evaluation of Environmental Hydrogen Embrittlement in Recycle-Simulated 7075-T6 Aluminum Alloys Using Synchrotron X-ray Imaging K.Horikawa, M.Hino, M.Hoshino, K.Uesugi [Cancelled] 162 Synchrotron radiation high-speed X-ray radiography study on behavior of hydrogen embrittlement crack propagation in cold-rolled Al-Cu-Mg/Al-Zn-Mg aluminum alloys Z.Wu, J.Kobayashi, K.Horikawa, S.Kuramoto, G.Itoh Environment-assisted fatigue fracture properties of Al-Zn-Mg-Cu alloy with η-phase and T-phase 163 A.Inamori, H.Fujihara, H.Toda, A.Takeuchi, M.Uesugi 164 Effect of electroless Ni-P plating on hydrogen embrittlement of 7075 aluminum alloy M.Hino, A.Asada, K.Odawara, S.Kurosaka, H.Okubo, K.Horikawa 165 Relationship between grain boundary precipitation and hydrogen embrittlement in Al-4%Cu-1.5%Mg-alloy A.Ito, T.Kimura, R.Minobe, G.Itoh, S.Kuramoto, J.Kobayashi Effects of retrogression and re-aging treatment on hydrogen-induced transgranular cracking in high-Zn 7xxx aluminum alloy H.Fujihara, Y.Wang, H.Toda, K.Shimizu, K.Hirayama, A.Takeuchi, M.Uesugi Effect of Mg Content on Tensile Deformation Behavior of Al-Si-Mg Cast Alloys R.Hirono, T.Tokunaga, K.Hagihara, M.Tejima Effect of fine and worked microstructure on mechanical properties of Al-Si-Mg continuous castings T.Sano, H.Nanba, Y.Kume, K.Satsugawa, H.Kurita, S.Iwasaki Effect of surface microstructure on mechanical properties of ADC12 aluminum alloy 169 T.Otani, K.Ikeda, S.Miura, T.Tomita, Y.Furukawa Property of roll cast AC2A aluminum alloy strip T.Haga Property of melt drag twin roll caster for casting of aluminum alloy strip 171 T.Haga Effect of casting temperature on surface and cross-sectional microstructures of Al-3%Si-1%Fe alloy twin-roll cast strips S.Kurotatsu, Y.Harada, S.Kumai Investigation of internal porosity and ductility of Al-3%Si-1%Fe alloy twin-roll cast strip by X-ray CT and DIC method 173 H.Furukawa, S.Kurotatsu, Y.Harada, S.Muraishi, S.Kumai Three-dimensional time-resolved and in-situ observation of motion of equiaxed dendrites in molten Al-Cu alloy during solidification using time-resolved X-ray tomography T.Narumi, T.Shimokawa, S.Nakano, R.Katsube, H.Yasuda 175 Numerical simulation of unidirectional solidification of aluminum alloy by using solidification structure modeling based on cellular automaton method T.Sugino, A.Takase, H.Harada, A.Minagawa Relationship between Double Diffusion Convection and Solidification Microstructure in Al-Si Alloys K.Shimode, T.Yamane, T.Shibayanagi

Y.Hirano, T.Ito

M.Sugita, K.Hagihara, T.Tokunaga, M.Yamasaki, T.Mayama

Y.Abe, M.Suzuki

Influence of the formation of second-phase particles due to addition of Fe and Si elements to Class I Type Al-Mg solid solution alloys

Development of structural catalysts for CO₂ methanation using wrought aluminum alloys

Mechanism of tensile anisotropy of Mg-LPSO two-phase extruded alloys

P02

on hot ductility

R. Wakabayashi, A. Serizawa Effect of high temperature aluminum oxide film on corrosion resistance of AlO(OH) film formed on an Al-Mg-Si alloy by the steam P05 coating process Y.Shirata, Y.Asada, A.Serizawa Influence of heating on hardness of Mg-Nb alloys fabricated by powder metallurgy I.Simura, M.Kubota Influence of heating on hardness of Al-23% Si-Cr alloys fabricated by MA-SPS process K.Nagata, M.Kubota Partitioning behavior of solute atoms at the film/substrate interface due to the formation of AlO(OH) film on aluminum alloy substrates P08 H.Takahashi, A.Serizawa Microstructure and mechanical properties of Ti-O alloy castings with different amounts of solid solution oxygen P09 H.Ibata, T.Ito, Y.Toda Synthesis and Evaluation of Graphene Oxide Coating on magnesium alloys P10 W.Sakamoto, K.Matsumura, Y.Onuki Microstructure and mechanical properties of a flame-retardant magnesium alloy AZX611 casting with controlled second-phase particles by heat treatment K.Fukuno, T.Ito P12 Effect of Ag addition on precipitation microstructure of Mg-Zn alloy S.Takehata, T.Tsuchiya, S.Lee, S.Ikeno, K.Matsuda In situ observation of melting behavior of Al-6.4Si alloy with spherical primary crystals P13 N.Tsuchida, S.Takamatsu, K.Kadoi, S.Suzuki P14 Fricative analysis during friction stir lap welding of 5052 aluminum alloy and 1050 aluminum foils T.Okamoto, T.Yamamoto, Y.Takayama, H.Watanabe Effect of heating time on repair strength of aluminum foams repaired by using spot heating foaming repairing method Y.Ito, R.Suzuki, Y.Hangai, R.Oki, S.Kobayashi, K.Mita Friction stir lap spot welding of A5052 aluminum alloy foil / C1020 copper sheet using additional heat input M.Ogawa, T.Yamamoto, Y.Takayama, H.Watanabe Controlling α-Al/α-Al₁₅(Fe,Mn)₃Si₂ eutectic microstructure in cast Al-Si alloys with Fe and Mn additions S.Kita, N.Takata, A.Suzuki, M.Kobashi, Y.Furukawa, T.Tomita Microstructural observation of aged Al-7%Si alloys with a small amount of Mg addition and heat treatment P18 H.Fukushima, T.Tsuchiya, S.Lee, S.Ikeno, K.Matsuda P19 Fabrication of aluminum foams by continuous casting precursor method without agitating process J.Kepler, R.Suzuki, H.Sato, S.Nishida, Y.Hangai P20 Manufacturing aluminum foams with complex shape and small size by lost wax centrifugal casting method T.Hagiwara, R.Suzuki Effect of alloying elements and extrusion temperature on microstructure, corrosion properties and mechanical properties of extruded Mg-Zn alloy N.Tokai, T.Nakata, S.Kamado Hydrogen behavior in Al-Zn-Mg-Cu alloy with surface microstructural control K.Okimoto, T.Manaka, S.Ihara Improvement of bending formability and tensile properties of rolled Mg-3Al-0.4Mn alloy using heterogeneous microstructure P23 Y.Nakae, T.Nakata, S.Kamado P24 Friction stir welding of heat treated aluminum alloys using a welding tool without a shoulder E.Hirozumi, T.Ito, H.Hori P25 Preparation and evaluation of Mg-Al layered double hydroxide films intercalated with different anionis on Al-Si alloys I.Matsui, K.Furutono, T.Ishizaki P26 Effect of simultaneous addition of Zn and Ca on the room-temperature deformation behavior of rolled Mg-Al-Mn alloy F.A.M.Reezam, T.Nakata, S.Kamado P27 Microstructure and mechanical properties of Al-Ti alloys fabricated by laser powder bed fusion T.Miura, Z.Zhou, W.Zhou, N.Nomura P28 Fabrication of aluminum foam using clad-chip extrusion K.Fujiwara, R.Suzuki, R.Oki, K.Mita, S.Kobayashi Production of ultra-high purity Mg-Zn alloys by vacuum distillation refining and evaluation of their dissolution and mechanical P29 properties

Uniform AlO(OH) film formation on an Al-Zn-Mg alloy substrate by the pretreatment prior to the steam coating process

K.Sasaki, K.Ueda, M.Inoue, T.Nakata, T.Mineta, T.Narushima

P30	Influence of additional element on the surface color of AC4B aluminum alloy
	J.Takahashi, Y.Takayama, A.Yamauchi
P31	Dependence of Dislocation Density and Dislocation Motion on Deformation Modes in Al-Mg Alloys
	T.Kotake, T.Suzuki, P.Thirathipviwat, K.Matsumoto, S.Sato
P32	Effect of alloy elements on interfacial reactions of Fe sheets hot-dipped in Al-Zn alloy melt
	Y.Omi, D.Kim, N.Takata, A.Suzuki, M.Kobashi
P33	Effect of extrusion speed on microstructural formation and mechanical properties of Mg-Al-Mn(-Ca) alloy extrusions
	Y.Matsubara, T.Nakata, S.Kamado, S.Kanitani, Y.Matsumoto, M.Ogawa, K.Shimizu
P34	Visualization of molten aluminum flow in vertical-type high-speed twin-roll casting by water model
	N.Ito, Y.Harada, S.Kumai
P35	Influence of heat treatment time, temperature, and residual ion on the surface oxidation of Mg-containing aluminum alloys
	A.Jo, M.Kato, Y.Takayama, A.Yamauchi
P36	Microstructure and room temperature mechanical properties of a non-heat-treated type aluminum alloy produced by friction stir welding
	using a shoulder-less tool
	T.Kato, T.Ito, H.Hori
P37	High functionality of titanium using TiN/TiO ₂ film
	M.Nakamura, R.Tanaka
P38	Effect of two-layer anodic oxide coating on adhesion and corrosion resistance of 5052 aluminum alloy
	S.Sugita, N.Nagata, M.Yamashita, M.Hino, T.Kanadani
P39	Fabrication of tubular-shaped alumina filters with controlled structures
	M. Yoshinaga, T. Yanagishita
P40	Effect of solute elements on the change in dislocation structure in aluminum alloys during tensile deformation
	R.Idomoto, H.Adachi
P41	Fabrication of three layers porous aluminum by roll forming joint after heating and foaming
	S.Nagatake, Y.Hangai
P42	Aging behavior of Al-0.8%Si-0.8%Ge alloy fabricated by fewer-cycles ARB processing
1 .2	K.Nakagawa, S.Sato, N.Tsuji, M.Park, T.Kanadani
P43	Compressive strength prediction of roller formed A1050 porous aluminum by machine learning using X-ray CT images
1 15	Y.Sakaguchi, S.Nagatake, Y.Hangai, Y.Tanaka, K.Okada, N.Yoshikawa
P44	Investigation of Indentation Speed in Friction Welding of Porous Aluminum and Thermoplastic Resin
1 77	Y.Yamamoto, Y.Hangai, K.Okada, Y.Goto, H.Tanaka, T.Suzuki
P45	Effects of composition and processing condition on the microstructure of Al-Mg-Si-Cu alloy forgings
173	R.Minobe, G.Itoh, T.Aisaka, S.Kuramoto
P/16	Effect of baking on fatigue properties of electroless Ni-P plated 6061-T6 aluminum alloy
1 70	A.Asada, K.Kawaue, K.Horikawa, S.Kurosaka, H.Okubo, M.Hino
P47	A.Asada, K.Rawaue, K.Hotikawa, S.Rufosaka, H.Okubo, M.Hino Control of mechanical anisotropy in porous aluminum with ordered cells by addition of braces
Γ 4 /	
D40	M.Kosaka, Y.Obata, K.Kitazono
P48	Effect of Zr addition to TiAl alloys with Ti-based MAX phase
D40	A.Sakamoto, T.Shiraishi, T.Kiguchi
P49	Effect of tool dwell time on joint strength of friction stir spot welded A5052 aluminum alloy/C1100 copper joint
D50	Y.Pan, M.Watanabe, Y.Noguchi, K.Yoshida
P50	Press formability of Mg-Al-Zn-Sn alloy twin roll casting material/polymer laminate material
D.5.1	A. Yamada, H. Tozuka, H. Watari, T. Haga, M. Suzuki
P51	Effects of electrolyte pH and glycine addition on anodization of aluminum
	S.Kusuyama, K.Hagiwara, H.Asoh
P52	Effect of porosity in easy dismantling of A4045 aluminum alloy / SS400 steel friction stir welded joints using foaming
	T.Ishigai, Y.Hangai, S.Koyama, H.Fujii, N.Yoshikawa
P53	Effects of compressive torsion processing on microstructure and mechanical property of A7050 aluminum alloy
	R.Hosono, M.Mihara-Narita, Y.Watanabe, H.Sato, H.Yoshida
P54	Tensile properties of Al-Si eutectic alloys prepared by electromagnetic solidification process
	N.Fuse, Y.Tamura
P55	Thin sheet continuous casting of aluminum alloy A7075
	H.Ueno, S.Matsumura, S.Nishida
P56	Investigation of Formability of Semi-Solid Forging of High-Strength Magnesium Alloy

Y.Otake, D.Ishikawa, S.Nishida

F 3 /	influence of increasing the temperature in senii-sond forging of aluminum anoy-based composites
	D.Ishikawa, S.Nishida
P58	Thin sheet continuous casting of aluminum alloy A6061 under low speed and high pressure using vertical twin roll caster
	S.Matsumura, H.Ueno, S.Nishida
P59	Real-time measurement of CO ₂ concentration during twin roll casting experiment of aluminum alloy A6061 by LoRaWAN
200	T.Iguchi, D.Ishikawa, S.Matsumura, M.Iwanami, H.Oku, N.Nakazawa, Y.Shiraishi, T.Saito, K.Kumamaru, S.Nishida
P60	Microstructure observation of natural aged excess Ge type Al-Mg-Ge alloy
	Y.Ishiguro, S.Lee, T.Tsuchiya, S.Ikeno, K.Matsuda
P61	Effect of microstructure on the ageing precipitation behaviour of Zn added Al-Si-Cu-Mg cast alloy
D.(2	R.Shimonaka, T.Ando, S.Araki, Y.Tayu, M.Tejima
P62	Effect of precipitate shape on dislocation density change during tensile deformation in aluminum alloys
D/2	T.Inoue, H.Adachi
P63	Oxidation behavior and nonflammability of Mg-X (X=Y, Yb) alloys
DC 4	K. Yoshida, S. Inoue, L. S. R. Kumara, Y. Kawamura
P64	Analysis of cluster growth behavior during low temperature CAL formation process of processed MgYZn dilute alloy
D/ 5	D.Kondo, H.Okuda, K.Hirayama, J.Ohishi, S.Inoue, Y.Kawamura, N.Ohota
P65	Relationship between coating ratio and sulfuric acid concentration in anodization of aluminum
D((Y.Murata, K.Hagiwara, H.Asoh
P66	Microstructural changes in AZ31B magnesium alloy sheet during cylindrical deep drawing
D67	K.Fujiki, Y.Tamura
P67	Deep drawing of AZ31 magnesium alloy sheets with different grain sizes
P68	M.Sugai, Y.Tamura Microstructure, friction and wear properties of Al-25mass%Si alloys using electromagnetic solidification process
100	Y.Osako, Y.Tamura
P69	Effects of TiC heterogeneous nucleation site particles on microstructures of cast and additive manufactured
F 0 9	Al-10mass%Si-0.4mass%Mg alloy
	M.Sameshima, Y.Watanabe, H.Sato, M.Mihara-Narita, M.Yamada, S.Orii, M.Ono
P70	Nucleation and solidification structure formation of aluminum alloys by addition of grain refiner using unidirectional solidification
F / U	experiment
	A.Takase, H.Harada, A.Minagawa
P71	Microstructural changes in aluminum substrates induced by hydrogen plasma irradiation
.,.	H.Yuda, G.Itoh, N.Sato, S.Kuramoto, J.Kobayashi
P72	Microstructure and mechanical properties of explosively welded Al/Mg/Al three-layer cladding plates
1,2	K.Imai, M.Mihara-Narita, H.Sato, Y.Watanabe, M.Bian, Y.Chino
P73	Effects of Mn substitution for Mo on mechanical properties and microstructures in high temperature resistant titanium alloy
1,0	Y.Kobayashi, T.Ando, D.Kudo, Y.Koyanagi, T.Homma
P74	Hydrogen embrittlement behavior of over-aged Al-Zn-Mg ternary alloys
- , .	S.Atsumi, R.Isaka, S.Masuda, T.Higuchi, T.Suzuki, G.Itoh, S.Kuramoto
P75	Analysis of cooling rate and crystal structure in aluminum refinement test
	K.Tamura, S.Shimasaki
P76	Effect of laser processing on mechanical properties of beta-type titanium alloy
	R.Hatakeyama, K.Onodera, S.Kuramoto, K.Yamasaki
P77	Easily separable technology by porous formation of A1050 aluminum/C1100 copper friction stir spot welding
	R.Shibasaki, Y.Hangai, A.Iwasaki, R.Suzuki, S.Nishida, S.Saito, Y.Morisada, H.Fujii
P78	Influence of Grain Size on the Mechanical Properties of Ti-Nb-Ta-Zr-O alloy
	T.Matsumoto, R.Hatakeyama, S.Kuramoto
P79	Pulsed electric current bonding of commercial purity titanium/S45C carbon steel using insert material of titanium powder
	H.Takasawa, T.Yamamoto, Y.Takayama, K.Aoki
P80	Combined forming processing of square A6063 aluminum alloy tubes by roll forming and drawing
	Y.Maruyama, H.Tozuka, H.Watari, T.Haga
P81	Numerical estimation of precipitates in Al-Mg-Si alloys using image analysis
	T.Kohara, K.Hasegawa, K.Takata, S.Arai
	Titoman, Titasogawa, Titaman, Sitta
P82	Relationship between convex surface shape and joint strength of steel/aluminum alloy dissimilar materials resistance spot welded joint
P82	•
P82 P83	Relationship between convex surface shape and joint strength of steel/aluminum alloy dissimilar materials resistance spot welded joint

hypoeutectic alloy S.Motoyama, M.Okugawa, Y.Koizumi, T.Nakano Effect of excessive magnesium on dynamic deformation response of Al-Mg-Si alloys R.Nagayama, T.Yamaguchi, A.Singh, K.Tsuchiya, T.Mukai Low-temperature foaming of porous aluminum by heating precursor containing silicon P86 Y.Tomita, Y.Hangai, H.Fujii Semi-solid extrusion process of small AZ91magnesium alloy tube T.Mimori, S.Nakai, T.Konno, H.Tozuka, H.Watari, T.Haga P88 Toughening of the high corrosion resistant of dilute Mg-Y-Zn alloys K.Takenaka, S.Nishimoto, M.Yamasaki, K.Hagihara Improvement of corrosion resistance and mechanical properties in dilute Mg-Y-Zn extruded alloys by Al addition P89 D.Ishimine, S.Nishimoto, M.Yamasaki Analysis of the strengthening mechanism of graphene-coated aluminum powder sintered alloys for higher strength P90 R.Ozaki, Y.Mabuchi, S.Sakamoto, Y.Takayama, M.Shioda, I.Murakami, T.Murakawa, S.Araki Effect of electrolyte concentration on film formation efficiency in bipolar anodization of aluminum R.Satake, K.Hagiwara, H.Asoh P92 Dependence of dislocation multiplication on aging conditions in cold rolling of precipitation strengthening type aluminum alloy T.Suzuki, P.Thirathipviwat, K.Matsumoto, S.Sato P93 Impact energy absorption capability of Ti-6Al-4V cellular materials fabricated by selective laser melting T. Yamamoto, T. Nakatsuji, N. Ikeo, T. Mukai Fabrication of hierarchical porous Si utilizing microstructures formed in Al-Si eutectic alloys fabricated by powder-bed fusion P94 H.Setoguchi, M.Okugawa, Y.Koizumi, T.Nanakano Compressive strength prediction of stacked A1050 and A6061 porous aluminum using machine learning Y.Kitahara, Y.Sakaguchi, Y.Hangai, K.Okada P96 New type of surface treatment layer consisted by two layer for improvement of corrosion protection of Al materials R.Takada, M.Chiba Fabrication of A7003 aluminum alloy welding wire containing with heterogeneous nucleation site particles and its application for directed energy deposition method T.Togo, M.Yamada, M.Mihara-Narita, H.Sato, Y.Watanabe, H.Taknaka, T.Suzuki, H.Kurita, H.Morita P98E Periodic melting behavior of pure titanium powder in laser powder bed fusion revealed by in-situ observations Y.Wakai, Y.Kushiya, T.Hiranuma, N.Seto, N.Sato, D.Jodi, S.Suzuki P99E Enhancement on the Corrosion Properties of Ti-Based Bulk Metallic Glass Composites by CNT addition P.Y.Lee P100E Fabrication and characterization of cathode materials using MXene-based compounds toward aluminum-ion secondary battery Y.Fujiwara, Y.Kojima, T.Imamura, A.Shio, T.Ishizaki P101E Effect of Copper Addition on Mechanical property and Microstructure in Al-Zn-Mg Alloy G.Suu, S.Lee, T.Tsuchiya, S.Ikeno, K.Matsuda P102E Precipitation process and phase transformation of S'/S phase in Al-Cu-Mg(-Si) alloys V. Ngoc Hai, S.Lee, T.Tsuchiya, S.Ikeno, K.Matsuda P103E Investigation of phase separation behavior and high temperature heat treatment of furnace-cooled Al-6Zn-0.79Mg alloy T.Matsuzaki, T.Homma P104E Influence of solute magnesium on strain rate dependence of Al-Mg alloy processed by severe plastic deformation T. Yamaguchi, A. Singh, K. Tsuchiya, T. Mukai [Cancelled] P105E Effect of crystal orientation and plastic working on the thermal conductivity of pure magnesium N.Osaki, S.Inoue, S.Ando, Y.Kawamura P106E Laboratory X-ray small angle scattering analysis for high temperature properties of A2618 and A2024 alloys S.Fukuda, M.Ohnuma, T.Ishida, Y.Aisu, H.Tanaka, K.Ichitani P107E Crystallographic orientation control of high purity aluminum cast using plate-like single-crystal Al₃Ti as heterogeneous nucleation particle K.Kamata, Y.Watanabe, H.Sato, M.Mihara-Narita, M.Yamada, S.Nakamura P108E Preparation of Mg-Al layered double hydroxide-containing films on 7075 aluminum alloys using steam coating K.Furutono, I.Matsui, T.Ishizaki

P84 Computational thermal fluid dynamics simulations of rapid melting and solidification in powder bed fusion of aluminum-silicon